

# Especificaciones de Sistemas



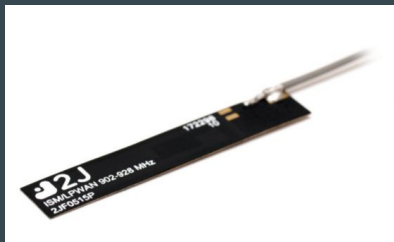
Comunicaciones Digitales

Curso: año 2022

# Temario

- Antenas
- Líneas de transmisión
- Linealidad
- Conceptos de Figura de Ruido
- Ruido de fase





915MHz ISM Flexible Polymer

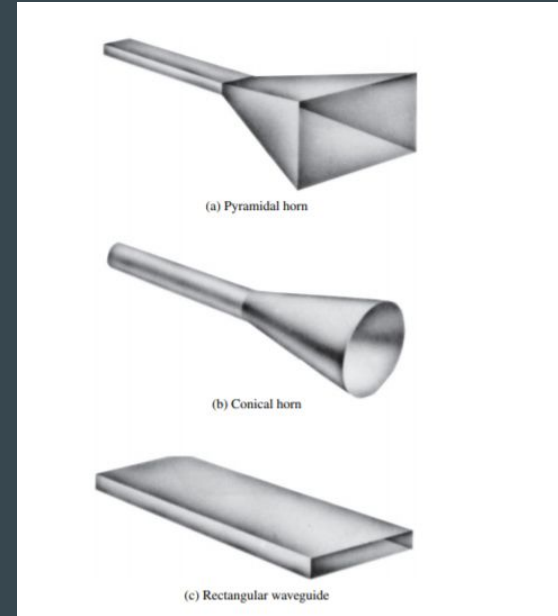
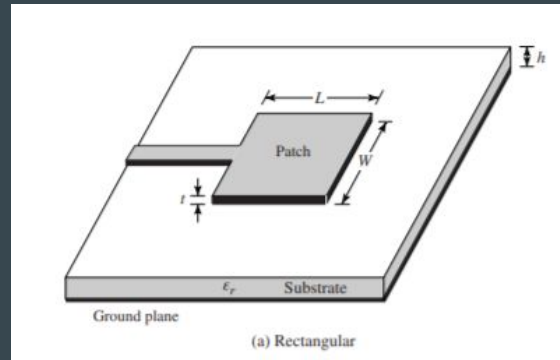
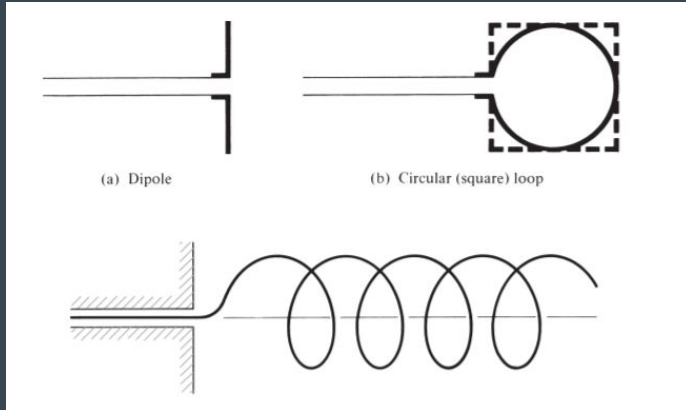
Parameters	915 MHz ISM Antenna
<b>Standards</b>	ZigBee, ISM, SigFox, LoRa
<b>Band (MHz)</b>	915 MHz
<b>Frequency(MHz)</b>	902-928
<b>Return Loss (dB)</b>	~-17.6
<b>VSWR</b>	~1.3:1
<b>Efficiency (%)</b>	~33.6
<b>Peak Gain (dBi)</b>	~0.3
<b>Average Gain (dB)</b>	~-4.7
<b>Impedance (Ohm)</b>	50
<b>Polarization</b>	Linear
<b>Radiation Pattern</b>	Omni-Directional
<b>Max. Input Power (W)</b>	25
<b>Connector Type</b>	U.FL Standard (Other Connectors Available)
<b>Cable Length</b>	100mm Standard (Any Cable Length Available)
<b>Cable Type</b>	1.37mm Mini-Coax Standard (Other Cables Available)



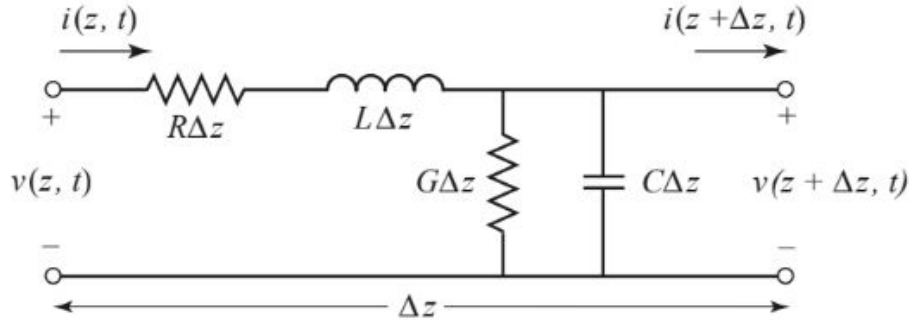
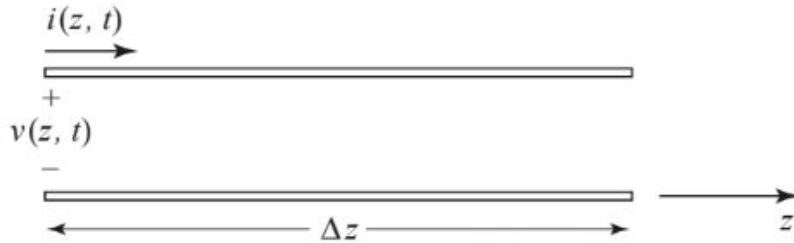
868/915 MHz ISM Adhesive Mount Flexible Polymer Embedded Antenna

Parameters	868/915 MHz ISM Antenna	
<b>Standards</b>	ZigBee, ISM, SigFox, LoRa	
<b>Band (MHz)</b>	868 MHz	915 MHz
<b>Frequency (MHz)</b>	863-870	902-928
<b>Return Loss (dB)</b>	~-8.0	~-21
<b>VSWR</b>	~2.3:1	~1.2:1
<b>Efficiency (%)</b>	~58	~77
<b>Peak Gain (dBi)</b>	~2.7	~3.6
<b>Average Gain (dB)</b>	~-2.3	~-1.1
<b>Impedance (Ohm)</b>	50	
<b>Polarisation</b>	Linear	
<b>Radiation Pattern</b>	Omni-Directional	
<b>Max. Input Power (W)</b>	25	
<b>Connector Type</b>	U.FL Standard (Other Connectors Available)	
<b>Cable Length</b>	100mm Standard (Any Cable Length Available)	
<b>Cable Type</b>	1.37mm Micro-Coax Standard (Other Cables Available)	

# Tipos de antenas



# Ecuación del telegrafista



$$\frac{\partial v(z, t)}{\partial z} = -Ri(z, t) - L \frac{\partial i(z, t)}{\partial t},$$
$$\frac{\partial i(z, t)}{\partial z} = -Gv(z, t) - C \frac{\partial v(z, t)}{\partial t}.$$

$$\frac{dV(z)}{dz} = -(R + j\omega L)I(z),$$
$$\frac{dI(z)}{dz} = -(G + j\omega C)V(z).$$

$$V(z) = V_o^+ e^{-\gamma z} + V_o^- e^{\gamma z},$$
$$I(z) = I_o^+ e^{-\gamma z} + I_o^- e^{\gamma z},$$

# Ecuaciones de línea (sin pérdidas)

$$\frac{V_o^+}{I_o^+} = Z_0 = \frac{-V_o^-}{I_o^-}.$$

$$Z_0 = \sqrt{\frac{L}{C}},$$

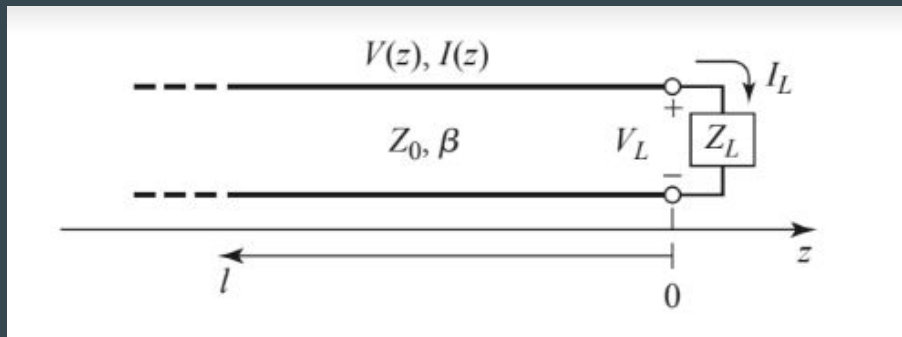
$$\lambda = \frac{2\pi}{\beta},$$

$$V(z) = V_o^+ e^{-j\beta z} + V_o^- e^{j\beta z},$$

$$I(z) = \frac{V_o^+}{Z_0} e^{-j\beta z} - \frac{V_o^-}{Z_0} e^{j\beta z}.$$

# Línea terminada sin pérdidas

$$V(z) = V_o^+ e^{-j\beta z} + V_o^- e^{j\beta z},$$
$$I(z) = \frac{V_o^+}{Z_0} e^{-j\beta z} - \frac{V_o^-}{Z_0} e^{j\beta z}.$$



$$Z_L = \frac{V(0)}{I(0)} = \frac{V_o^+ + V_o^-}{V_o^+ - V_o^-} Z_0.$$

$$V(z) = V_o^+ (e^{-j\beta z} + \Gamma e^{j\beta z}),$$
$$I(z) = \frac{V_o^+}{Z_0} (e^{-j\beta z} - \Gamma e^{j\beta z}).$$

$$\Gamma = \frac{V_o^-}{V_o^+} = \frac{Z_L - Z_0}{Z_L + Z_0}.$$

Coefficiente de reflexión de voltaje



# Onda estacionaria

$$V(z) = V_o^+ e^{-j\beta z} + V_o^- e^{j\beta z},$$
$$I(z) = \frac{V_o^+}{Z_0} e^{-j\beta z} - \frac{V_o^-}{Z_0} e^{j\beta z}.$$

$$P_{\text{avg}} = \frac{1}{2} \text{Re}\{V(z)I(z)^*\} = \frac{1}{2} \frac{|V_o^+|^2}{Z_0} \text{Re}\{1 - \Gamma^* e^{-2j\beta z} + \Gamma e^{2j\beta z} - |\Gamma|^2\},$$

$$P_{\text{avg}} = \frac{1}{2} \frac{|V_o^+|^2}{Z_0} (1 - |\Gamma|^2),$$

# Onda estacionaria

$$V(z) = V_o^+ e^{-j\beta z} + V_o^- e^{j\beta z},$$
$$I(z) = \frac{V_o^+}{Z_0} e^{-j\beta z} - \frac{V_o^-}{Z_0} e^{j\beta z}.$$

## Return Loss

$$RL = -20 \log |\Gamma| \text{ dB},$$

Carga adaptada  $\Gamma = 0$   $\longrightarrow$   $RL = \infty$  dB (no reflejada)

Se refleja toda la potencia incidente  $|\Gamma| = 1$   $\longrightarrow$   $RL = 0$  dB

$$|V(z)| = |V_o^+| |1 + \Gamma e^{2j\beta z}| = |V_o^+| |1 + \Gamma e^{-2j\beta \ell}|$$

$$V_{\max} = |V_o^+| (1 + |\Gamma|).$$

$$V_{\min} = |V_o^+| (1 - |\Gamma|).$$

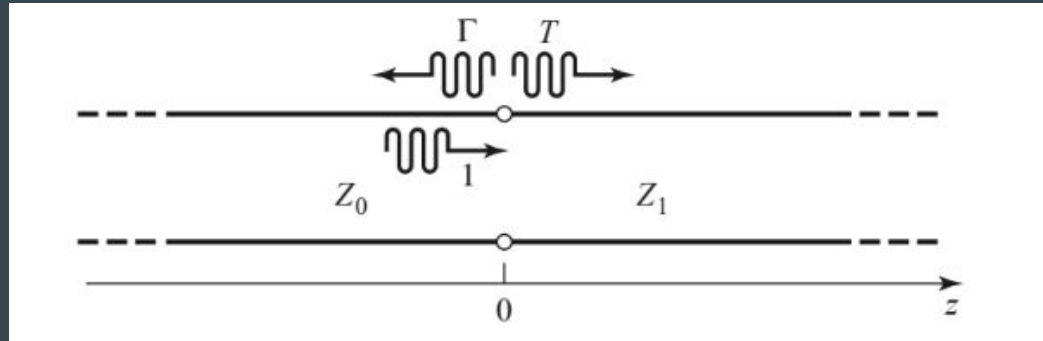
## Voltage Standing Wave Ratio (VSWR)

$$SWR = \frac{V_{\max}}{V_{\min}} = \frac{1 + |\Gamma|}{1 - |\Gamma|}.$$

$$1 \leq SWR \leq \infty$$

# Pérdidas de inserción

$$\Gamma = \frac{V_o^-}{V_o^+} = \frac{Z_L - Z_0}{Z_L + Z_0}$$



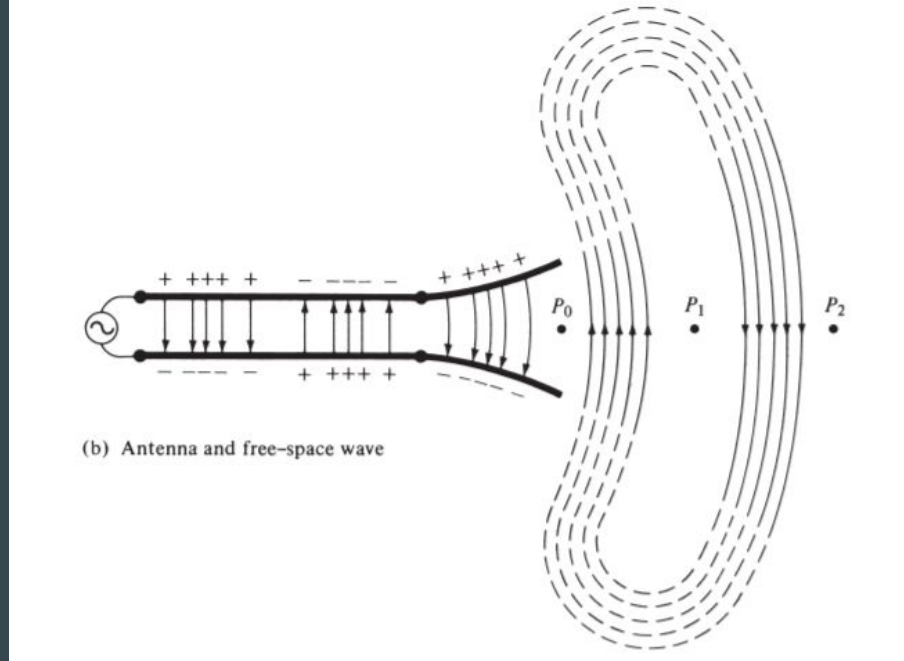
$$\Gamma = \frac{Z_1 - Z_0}{Z_1 + Z_0}$$

$$V(z) = V_o^+ T e^{-j\beta z} \quad \text{for } z > 0.$$

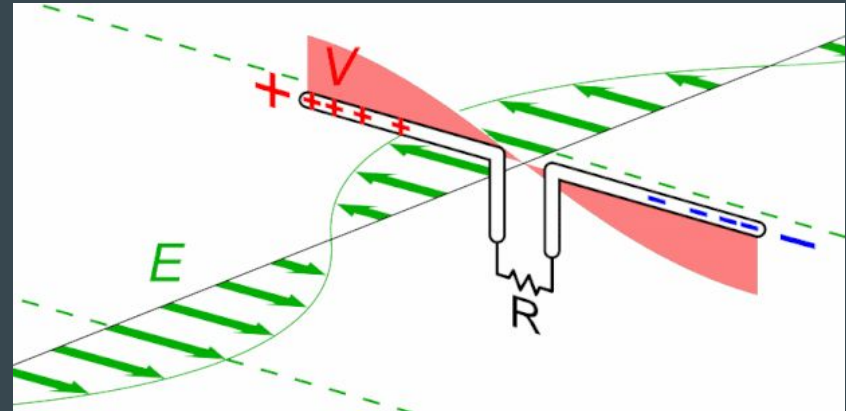
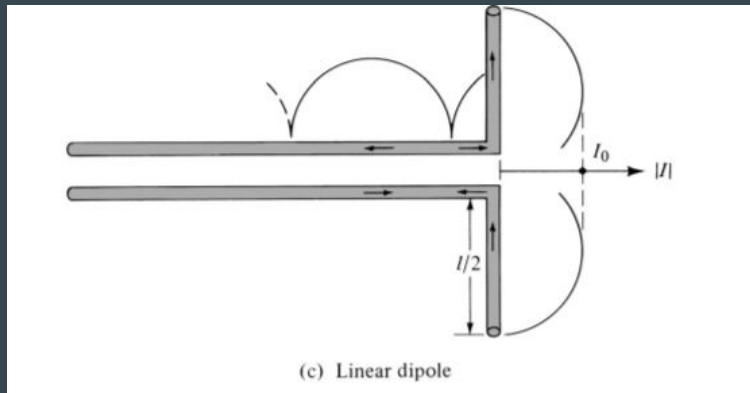
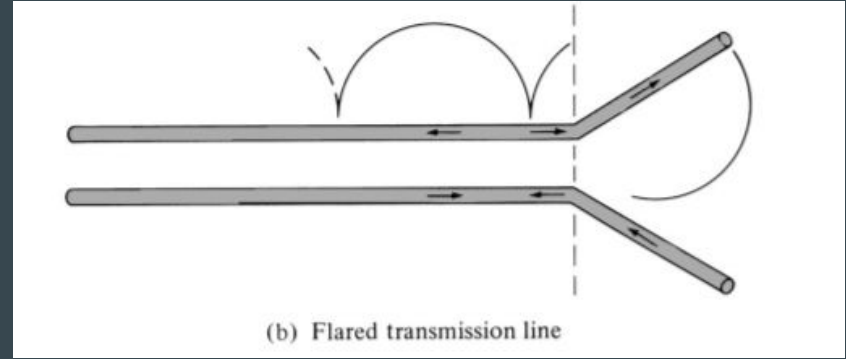
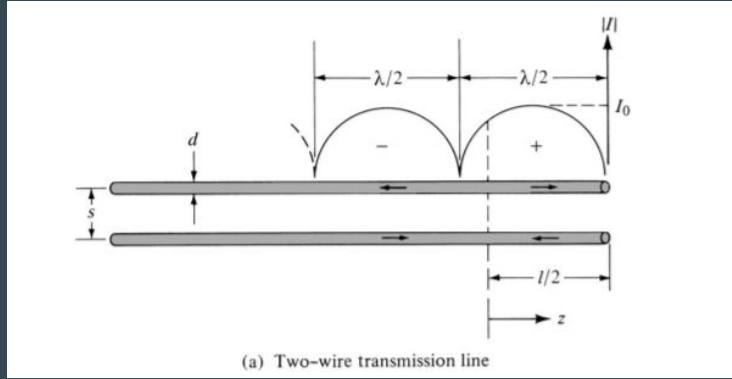
$$T = 1 + \Gamma = 1 + \frac{Z_1 - Z_0}{Z_1 + Z_0} = \frac{2Z_1}{Z_1 + Z_0}$$

$$\text{IL} = -20 \log |T| \text{dB.}$$

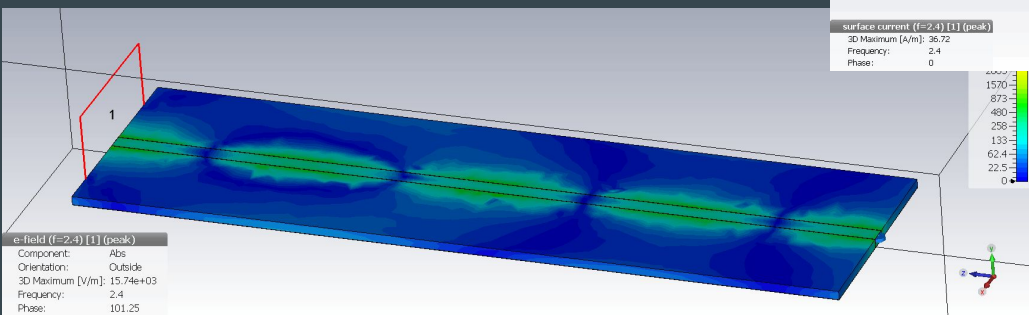
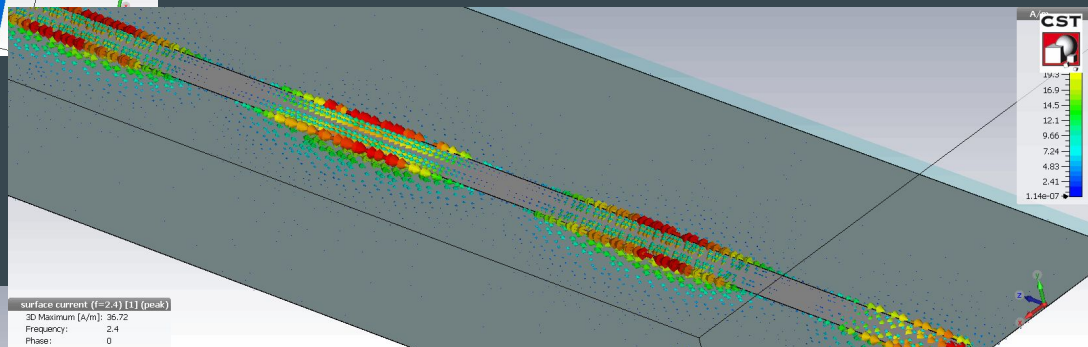
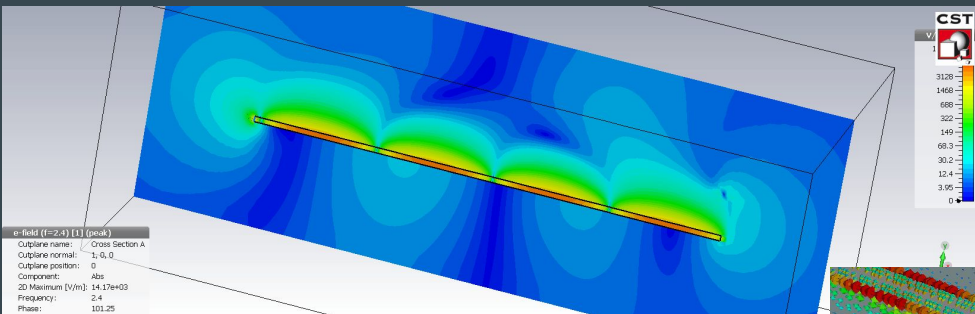
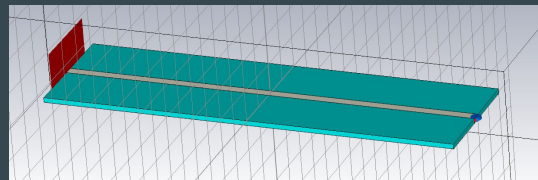
# Antena de 2 conductores



# Distribución de corriente (línea sin pérdidas)



# Microstripline



# Parámetros clave de una antena

- Eficiencia total

$$e_0 = e_r e_c e_d$$

r: reflexión

c : conducción

d: dieléctrico

- Potencia radiada

$$P_{\text{rad}} = e_{cd} P_{\text{in}}$$

$$e_{cd} = e_c e_d = \text{antenna radiation efficiency.}$$

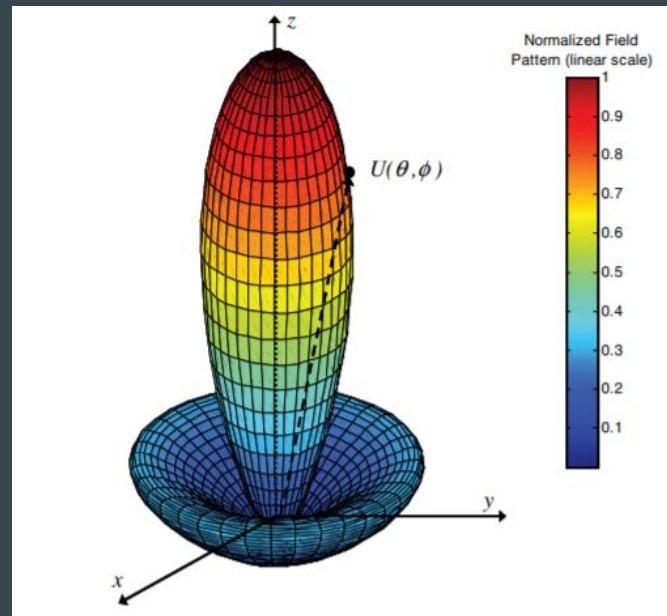
$$e_0 = e_r e_{cd} = e_{cd}(1 - |\Gamma|^2)$$

# Parámetros clave de una antena

$$P_{\text{rad}} = \iint_{\Omega} U d\Omega$$

$$U = r^2 W_{\text{rad}}$$

- **Radiation intensity**  $U$ : potencia radiada de una antena por unidad de ángulo sólido (W/unit solid angle)
- **Radiation density**  $W_{\text{rad}}$ : (W/m<sup>2</sup>)
- **Directivity**: Relación entre la intensidad de radiación en una dirección y el promedio de intensidad de radiación en todas las direcciones ( $U_0/4\pi$ )





# Parámetros clave de una antena

- Gain

$$\text{Gain} = 4\pi \frac{\text{radiation intensity}}{\text{total input (accepted) power}} = 4\pi \frac{U(\theta, \phi)}{P_{in}}$$

IEEE Standards : la ganancia no incluye pérdidas por desadaptación

$$G(\theta, \phi) = e_{cd}D(\theta, \phi)$$

- Realized Gain

$$\begin{aligned} G_{re}(\theta, \phi) &= e_r G(\theta, \phi) = (1 - |\Gamma|^2)G(\theta, \phi) \\ &= e_r e_{cd}D(\theta, \phi) = e_o D(\theta, \phi) \end{aligned}$$

# Antena LoRa

TABLE 1. VSWR AND TRANSMISSION LOSS

VSWR	Return Loss (dB)	Reflected Power (%)	Transmiss. Loss (dB)	VSWR	Return Loss (dB)	Reflected Power (%)	Transmiss. Loss (dB)
1	∞	0	0	1.38	15.9	2.55	0.112
1.01	46.1	0.005	0.0002	1.39	15.7	2.67	0.118
1.02	40.1	0.01	0.0005	1.4	15.55	2.78	0.122
1.03	36.6	0.022	0.0011	1.41	15.38	2.9	0.126
1.04	34.1	0.04	0.0018	1.42	15.2	3.03	0.132
1.05	32.3	0.06	0.0028	1.43	15.03	3.14	0.137
1.06	30.7	0.082	0.0039	1.44	14.88	3.28	0.142
1.07	29.4	0.116	0.0051	1.45	14.7	3.38	0.147
1.08	28.3	0.144	0.0066	1.46	14.6	3.5	0.152
1.09	27.3	0.184	0.0083	1.47	14.45	3.62	0.157
1.1	26.4	0.228	0.01	1.48	14.3	3.74	0.164
1.11	25.6	0.276	0.0118	1.49	14.16	3.87	0.172
1.12	24.9	0.324	0.0139	1.5	14	4	0.18
1.13	24.3	0.375	0.016	1.55	13.3	4.8	0.21
1.14	23.7	0.426	0.0185	1.6	12.6	5.5	0.24
1.15	23.1	0.488	0.0205	1.65	12.2	6.2	0.27
1.16	22.6	0.55	0.0235	1.7	11.7	6.8	0.31
1.17	22.1	0.615	0.026	1.75	11.3	7.4	0.34
1.18	21.6	0.682	0.0285	1.8	10.9	8.2	0.37
1.19	21.2	0.75	0.0318	1.85	10.5	8.9	0.4
1.2	20.8	0.816	0.0353	1.9	10.2	9.6	0.44
1.21	20.4	0.9	0.0391	1.95	9.8	10.2	0.47
1.22	20.1	0.98	0.0426	2	9.5	11	0.5
1.23	19.7	1.08	0.0459	2.1	9	12.4	0.57
1.24	19.4	1.15	0.049	2.2	8.6	13.8	0.65
1.25	19.1	1.23	0.053	2.3	8.2	15.3	0.73
1.26	18.8	1.34	0.056	2.4	7.7	16.6	0.8
1.27	18.5	1.43	0.06	2.5	7.3	18	0.88
1.28	18.2	1.52	0.064	2.6	7	19.5	0.95
1.29	17.9	1.62	0.068	2.7	6.7	20.8	1.03
1.3	17.68	1.71	0.073	2.8	6.5	22.3	1.1
1.31	17.4	1.81	0.078	2.9	6.2	23.7	1.17
1.32	17.2	1.91	0.083	3	6	24.9	1.25
1.33	17	2.02	0.087	3.5	5.1	31	1.61
1.34	16.8	2.13	0.092	4	4.4	36	1.53
1.35	16.53	2.23	0.096	4.5	3.9	40.6	2.27
1.36	16.3	2.33	0.101	5	3.5	44.4	2.56
1.37	16.1	2.44	0.106	6	2.9	50.8	3.08

(Chart courtesy of Ramsey Electronics)

$ \Gamma  = \frac{VSWR - 1}{VSWR + 1}$	$RL = -20 \log \frac{VSWR - 1}{VSWR + 1}$
$VSWR = \frac{1 +  \Gamma }{1 -  \Gamma }$	$RL = -20 \log  \Gamma $
$ \Gamma  = 10^{\frac{-RL}{20}}$	$VSWR = \frac{1 + 10^{\frac{-RL}{20}}}{1 - 10^{\frac{-RL}{20}}}$

SWR = 1.3     $|\Gamma| = 0.13$     RL = -17.68 dB     $P_r = 1.71\%$

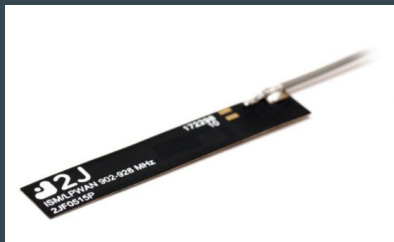
SWR = 1.2     $|\Gamma| = 0.091$     RL = -20.8 dB     $P_r = 0.826\%$

$$G = G_{ave} + 10 \cdot \log(e_{cd}) + 10 \cdot \log(1 - |\Gamma|^2)$$

$$G_1 = -4.7 \text{ dBi} + 10 \log(0.336) - 0.074 \text{ dB} = -9.5 \text{ dBi}$$

$$G_2 = -1.1 \text{ dBi} + 10 \log(0.77) - 0.036 \text{ dB} = -2.3 \text{ dBi}$$





915MHz ISM Flexible Polymer

Parameters	915 MHz ISM Antenna
<b>Standards</b>	ZigBee, ISM, SigFox, LoRa
<b>Band (MHz)</b>	915 MHz
<b>Frequency(MHz)</b>	902-928
<b>Return Loss (dB)</b>	~-17.6
<b>VSWR</b>	~1.3:1
<b>Efficiency (%)</b>	~33.6
<b>Peak Gain (dBi)</b>	~0.3
<b>Average Gain (dB)</b>	~-4.7
<b>Impedance (Ohm)</b>	50
<b>Polarization</b>	Linear
<b>Radiation Pattern</b>	Omni-Directional
<b>Max. Input Power (W)</b>	25
<b>Connector Type</b>	U.FL Standard (Other Connectors Available)
<b>Cable Length</b>	100mm Standard (Any Cable Length Available)
<b>Cable Type</b>	1.37mm Mini-Coax Standard (Other Cables Available)



868/915 MHz ISM Adhesive Mount Flexible Polymer Embedded Antenna

Parameters	868/915 MHz ISM Antenna	
<b>Standards</b>	ZigBee, ISM, SigFox, LoRa	
<b>Band (MHz)</b>	868 MHz	915 MHz
<b>Frequency (MHz)</b>	863-870	902-928
<b>Return Loss (dB)</b>	~-8.0	~-21
<b>VSWR</b>	~2.3:1	~1.2:1
<b>Efficiency (%)</b>	~58	~77
<b>Peak Gain (dBi)</b>	~2.7	~3.6
<b>Average Gain (dB)</b>	~-2.3	~-1.1
<b>Impedance (Ohm)</b>	50	
<b>Polarisation</b>	Linear	
<b>Radiation Pattern</b>	Omni-Directional	
<b>Max. Input Power (W)</b>	25	
<b>Connector Type</b>	U.FL Standard (Other Connectors Available)	
<b>Cable Length</b>	100mm Standard (Any Cable Length Available)	
<b>Cable Type</b>	1.37mm Micro-Coax Standard (Other Cables Available)	

## ISM 915Mhz Band Hinge Rotatable Terminal Antenna



Category	Specifications		
Application Band (MHz)	902	915	928
Efficiency(%)			
TA-S10B-A-S9	71.94	80.72	88.51
Average Gain(dBi)			
TA-S10B-A-S9	-1.43	-0.93	-0.53
Peak Gain(dBi)			
TA-S10B-A-S9	3.13	4.02	4.36
Return Loss (dB)	< -10		
V.S.W.R	< 2:1		
Test Condition	With GND: 210 x 125 mm		
Polarization	Linear		
Impedance	50 $\Omega$		
Mechanical Specifications			
Dimension	L:108 mm, Diameter: 10 mm		
Antenna Cover	TPU Black		
Connector	SMA(M)		
Environmental Specifications			
Operating Temperature	-40~85°C		
Storage Temperature	-40~85°C		

# Sistema Lineal

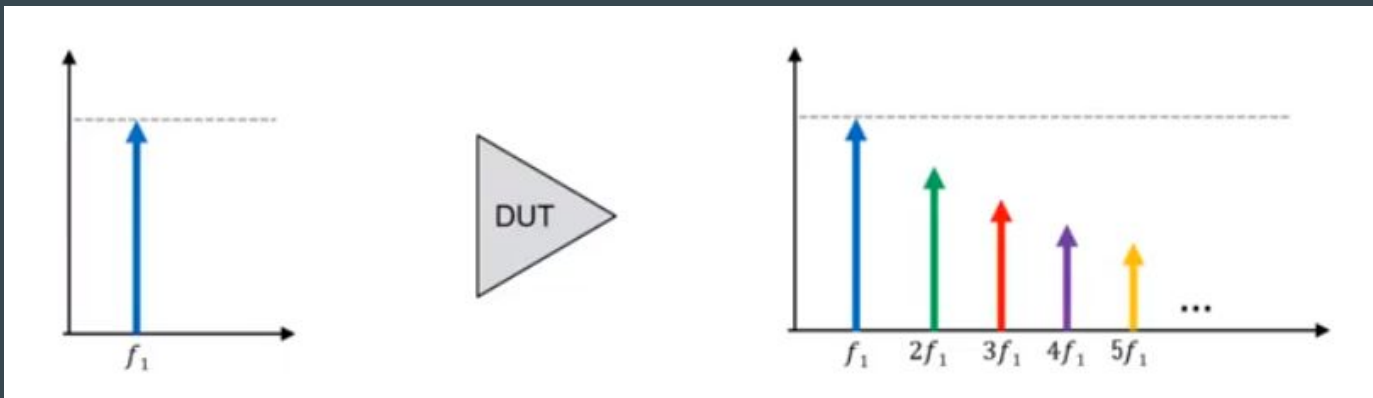
- Salida es directamente proporcional a la entrada
- Típicamente lineal para un rango de potencia de entrada
- Si el dispositivo opera en la zona no-lineal puede crear distorsión en la forma de armónicos y productos de intermodulación



$$\left| \begin{array}{l} x_1 \longrightarrow y_1 \\ x_2 \longrightarrow y_2 \end{array} \right. \quad \text{Then:} \quad \left| \begin{array}{l} x_1 + x_2 \longrightarrow y_1 + y_2 \\ \alpha x_1 \longrightarrow \alpha y_1 \end{array} \right. \quad x \longrightarrow \boxed{S} \longrightarrow y$$

# Sistema no-lineal: Armónicos

- Copias de la señal en múltiplos enteros de la fundamental
- Amplitud del armónico típicamente decrece cuando aumenta su orden



# Sistema no-lineal: Compresión de ganancia

$$x(t) = A \cos(\omega_c t)$$



$$y(t) = a_1 x(t) + a_2 x^2(t) + a_3 x^3(t) + \dots$$

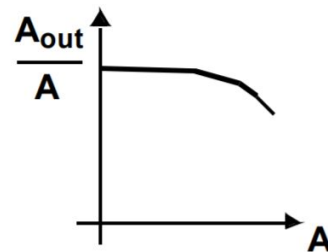
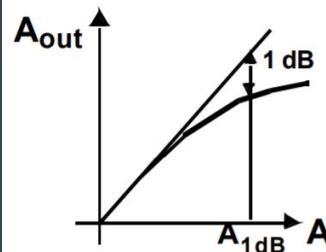
$$y(t) = a_1 A \cos(\omega_c t) + a_2 A^2 \cos^2(\omega_c t) + a_3 A^3 \cos^3(\omega_c t) + \dots$$

- $a_3 < 0$  compresión de ganancia

$$y(t) = \frac{a_2}{2} A^2 + \overset{\mathbf{A_{out}}}{\left( a_1 A + 3 \frac{a_3}{4} A^3 \right) \cos(\omega_c t)} + \frac{a_2}{2} A^2 \cos(2\omega_c t) + \frac{a_3}{4} A^3 \cos(3\omega_c t)$$

- Ganancia

$$20 \log |a_1 + 0.75 a_3 A^2|$$



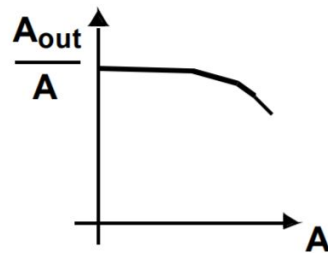
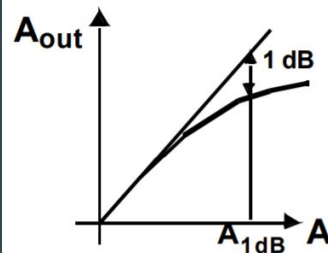
# Punto de compresión 1dB

$A_{out}$

$$y(t) = \frac{a_2}{2}A^2 + \left(a_1 A + 3\frac{a_3}{4}A^3\right)\cos(\omega_c t) + \frac{a_2}{2}A^2 \cos(2\omega_c t) + \frac{a_3}{4}A^3 \cos(3\omega_c t)$$

- Ganancia  $20\log |a_1 + 0.75a_3A^2|$

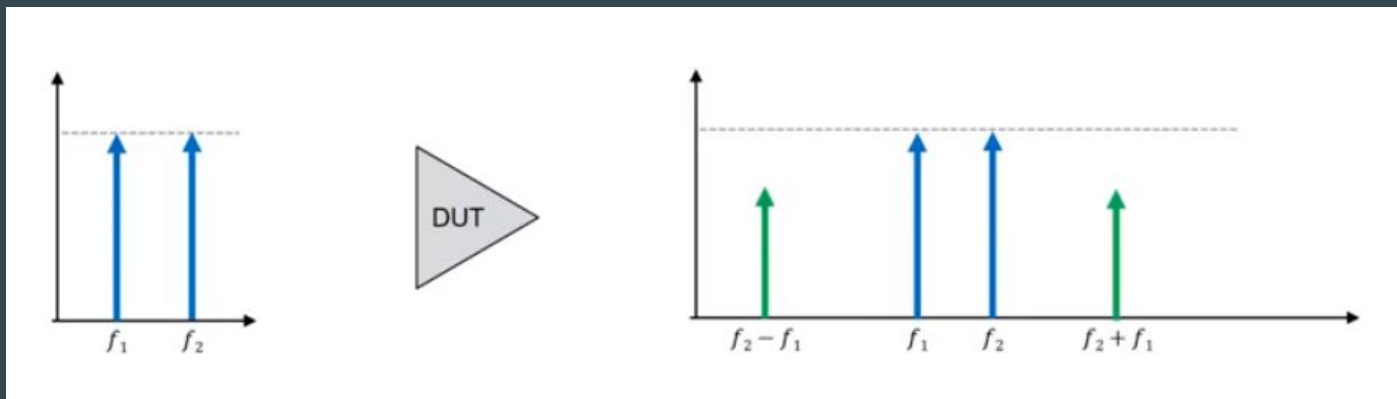
$$A_{-1dB} = \sqrt{0.145 \times \left| \frac{a_1}{a_3} \right|}$$





# Intermodulación

- Intermodulación ocurre cuando dos (o más) señales se **mezclan** en un dispositivo no-lineal
- La multiplicación (mezcla) produce nuevas señales en la **suma** y en la **diferencia** de sus frecuencias



# Productos de Intermodulación

$$x(t) = A \cos(\omega_{c1}t) + A \cos(\omega_{c2}t)$$



$$y(t) = a_1 x(t) + a_2 x^2(t) + a_3 x^3(t) + \dots$$

$$y(t) = a_2 A^2 + a_2 A^2 \cos(\omega_{c1} - \omega_{c2})t + \left(a_1 A + \frac{9}{4} a_3 A^3\right) \cos \omega_{c1} t + \left(a_1 A + \frac{9}{4} a_3 A^3\right) \cos \omega_{c2} t + \frac{3}{4} a_3 A^3 \cos(2\omega_{c1} - \omega_{c2})t + \frac{3}{4} a_3 A^3 \cos(2\omega_{c2} - \omega_{c1})t + a_2 A^2 \cos(\omega_{c1} + \omega_{c2}) + \frac{1}{2} a_2 A^2 \cos(2\omega_{c1}) + \frac{1}{2} a_2 A^2 \cos(2\omega_{c2}) + \frac{3}{4} a_3 A^3 \cos(2\omega_{c2} + \omega_{c1})t + \frac{3}{4} a_3 A^3 \cos(2\omega_{c1} + \omega_{c2})t + \frac{1}{4} a_3 A^3 \cos(3\omega_{c1}) + \frac{1}{4} a_3 A^3 \cos(3\omega_{c2})$$

$$IIP3 \text{ (dB)} = A_{1dB} \text{ (dB)} + 9.6$$

- $A_{IP3}$ : en que valor de A los productos son =  $a_1 A$

$$\sqrt{\frac{4}{3} \times \left| \frac{a_1}{a_3} \right|} = A_{IP3}$$

# Orden de los productos

- Los tonos  $f_1$  y  $f_2$  se mezclan entre sí
- Se pueden mezclar con sus armónicos como ser  $2f_1$  y  $2f_2$
- Productos adicionales en:

$$2f_1 + f_2$$

$$2f_1 - f_2$$

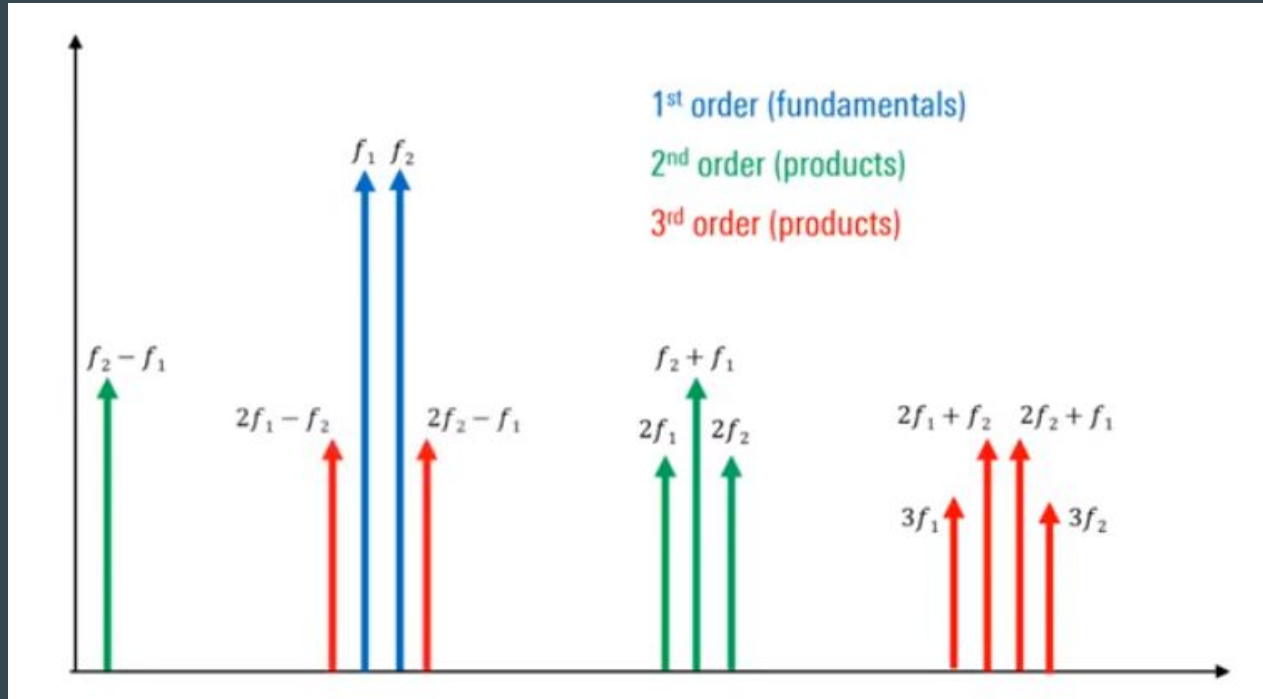
$$2f_2 + f_1$$

$$2f_2 - f_1$$

...

- El orden es la suma sin signo de los coeficientes
  - $2f_1$  es segundo orden (2)
  - $f_1 + f_2$  es segundo orden (1+1)
  - $3f_1$  es tercer orden (3)
  - $2f_1 - f_2$  es tercer orden (2+1)

# Armónicos y productos de intermodulación

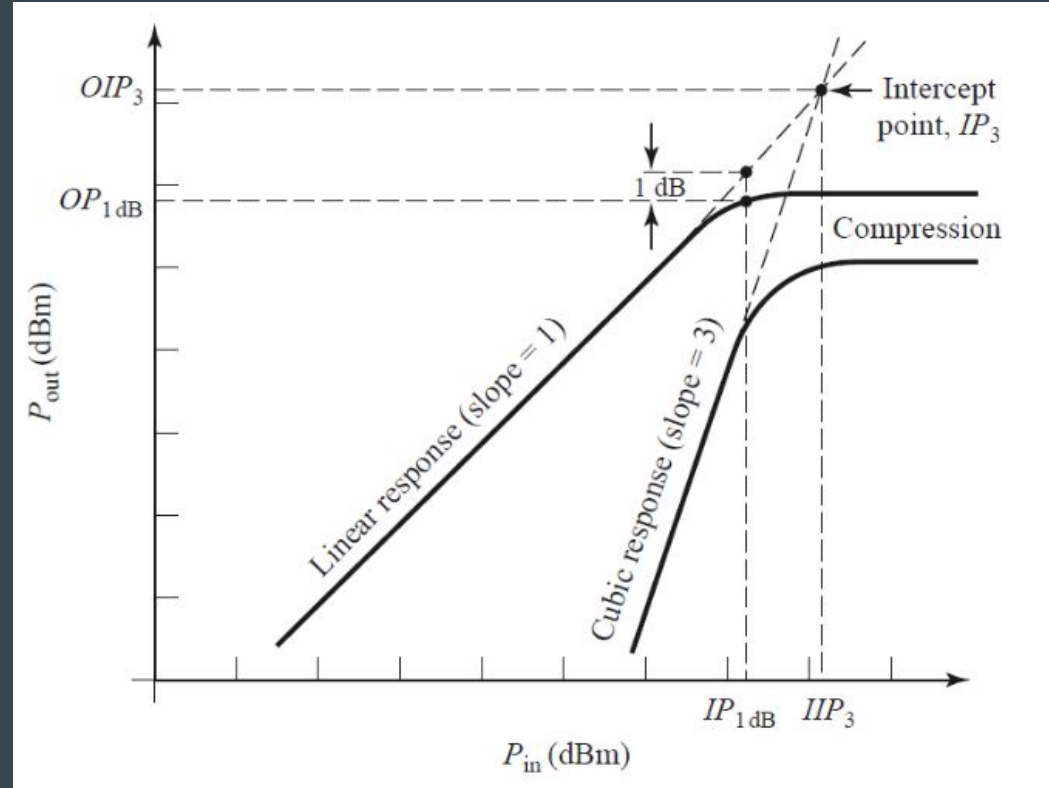


# Productos difícil de sacar (IM3)

- Los productos de orden 3

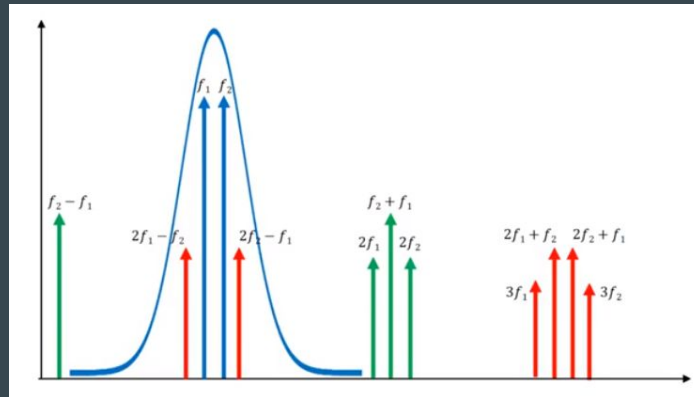
$$\begin{array}{l} 2f_1 - f_2 \\ 2f_2 - f_1 \end{array}$$

- Si incremento 1dB en la fundamental y se incrementan 3dB en los productos
- Las líneas se intersectan en TOI (third order intercept) pero antes se llega a la compresión, es un punto teórico



# Problemas con los productos

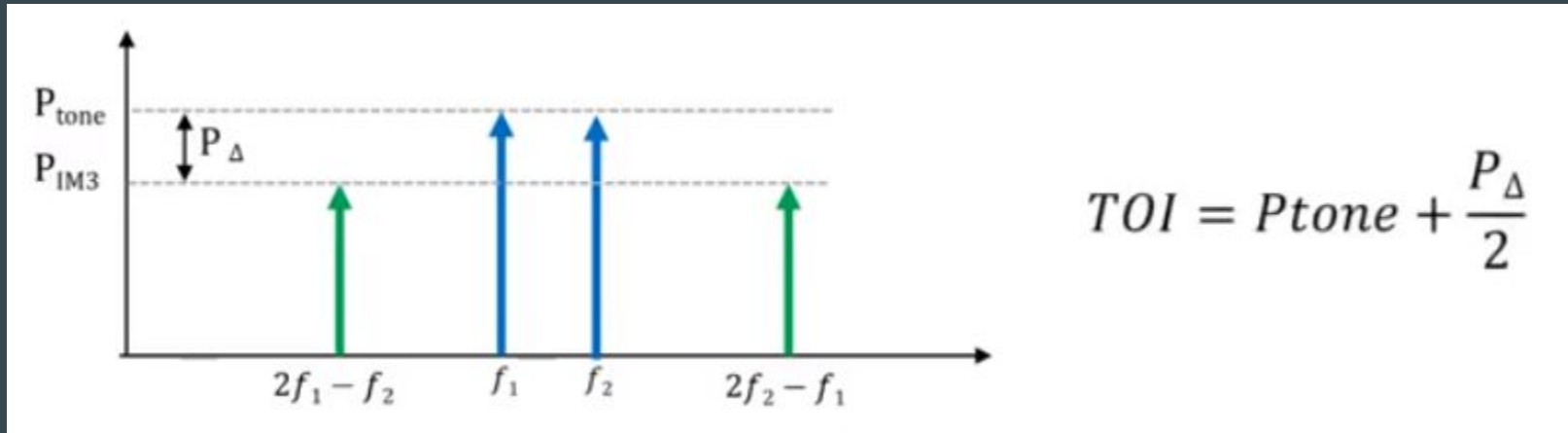
- Armónicos y los productos son indeseables
  - Generan interferencia en los canales adyacentes, ruido o distorsión
- Intermodulación indeseable ----> se la refiere como IMD
- Algunos productos son fáciles de manejar
  - Armónicos de alto orden tienen baja amplitud
  - Productos de alta frecuencia caen fuera del ancho de banda del amp, o fuera del BPF



# Usos del TOI o $IP_3$

- Figura de mérito de la linealidad, cuanto más alto mejor!
- Muchas hojas de datos se refieren al TOI como  $IP_3$

Medida



# Johnson - Nyquist noise

- Generado por la agitación térmica de los portadores de carga (electrones) dentro de un conductor eléctrico
- Se incrementa con la temperatura

$$e^2 = 4kTBR$$

$e^2$  = mean square noise voltage

$k$  = Boltzmann's constant =  $1.38 \times 10^{-23}$  joules/o K

$T$  = absolute temperature, ° K

$B$  = bandwidth, Hz

$R$  = resistance, ohms

$$P = \frac{E^2}{R} = \frac{(e/2)^2}{R} = \frac{e^2}{4R} \text{ watts}$$

$$P_n = kTB$$

Potencia de ruido disponible bajo adaptación conjugada

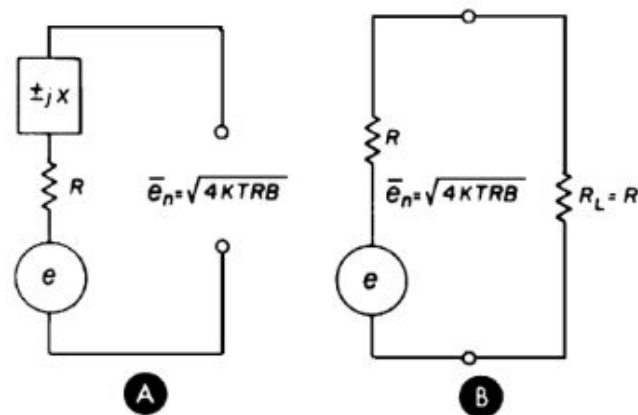
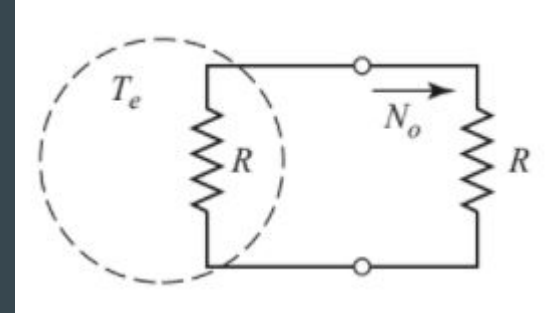
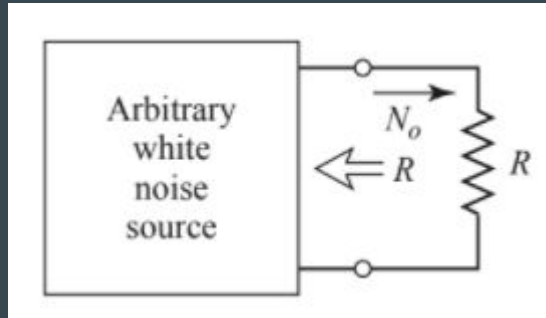


Fig. 2. Mean noise voltage depends on temperature, resistance and bandwidth, and is completely independent of reactance as shown in (A). Maximum noise power is transferred to the load when the load resistance is matched to the source resistance (B).

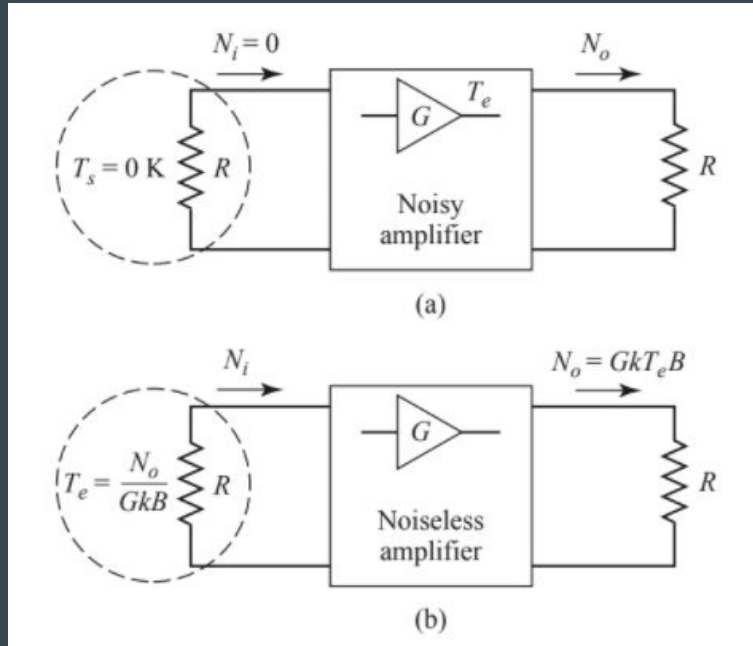


# Temperatura de ruido equivalente



$$T_e = \frac{N_o}{kB}$$

# Ruido en un amplificador

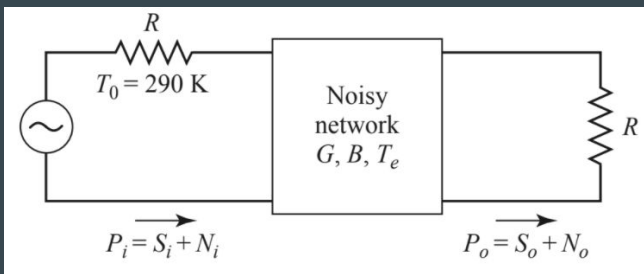


En los dos casos tenemos la misma potencia de ruido a la salida

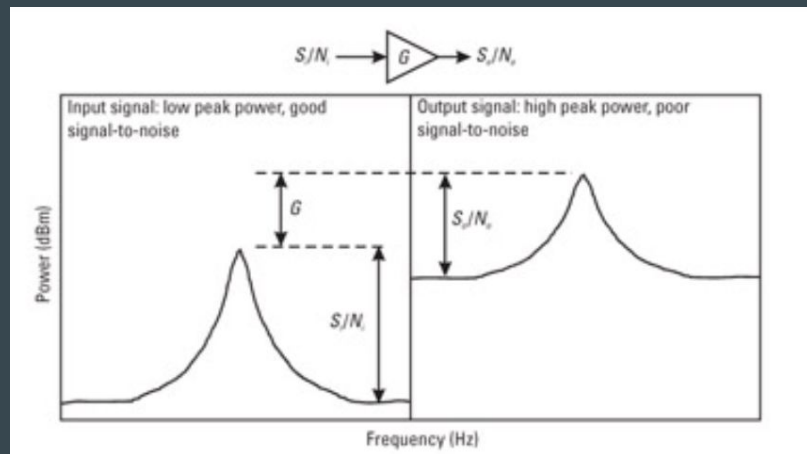
Temperatura de ruido equivalente  $T_e$  referido a la entrada del amplificador (es una figura de mérito)

$$N_i = \frac{N_o}{G} = kT_e B$$

# Figura de ruido



$$N_i = kT_0B$$



- NF (Noise Figure) es una medida de la degradación del SNR

$$N_o = N_a + GN_i = kT_eBG + kT_0BG$$

$$N_o = kGB(T_0 + T_e)$$

$$F = \frac{S_i N_o}{N_i S_o}$$

$$F = \frac{S_i/N_i}{S_o/N_o} \geq 1$$

$$NF = 10 \log(F)$$

Noise Factor (lineal)

Noise Figure (logaritmo)

$$F = \frac{S_i}{kT_0B} \frac{kGB(T_0 + T_e)}{GS_i} = 1 + \frac{T_e}{T_0} \geq 1$$

$$S_0 = S_i G$$

$$N_0 = kGB(T_0 + T_e) = kGBT_0F$$



$$SNR_0 = \frac{S_0}{N_0} = \frac{S_i}{kBT_0F}$$

Cuál es la mínima potencia de entrada que hace que se demodule el mensaje ?

“**minimum discernible signal**”



$$MDS = kT_0BF(SNR)_{min}$$

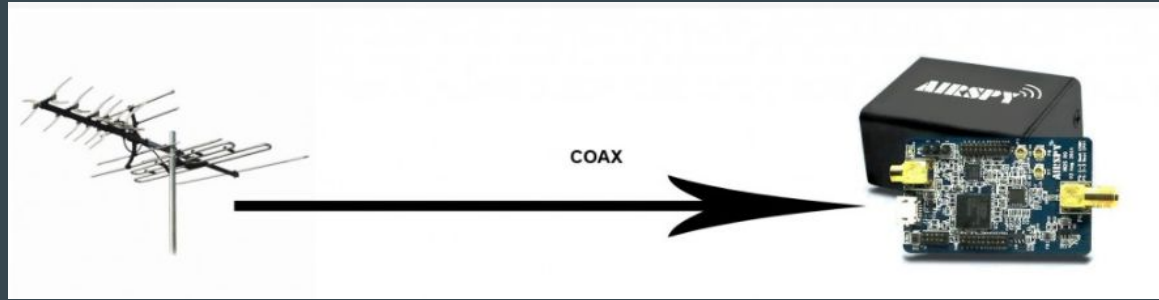
$$S_i > MDS$$

$$MDS(dBm) = 10 \log \left( \frac{kT_0BF(SNR)_{min}}{1mW} \right)$$

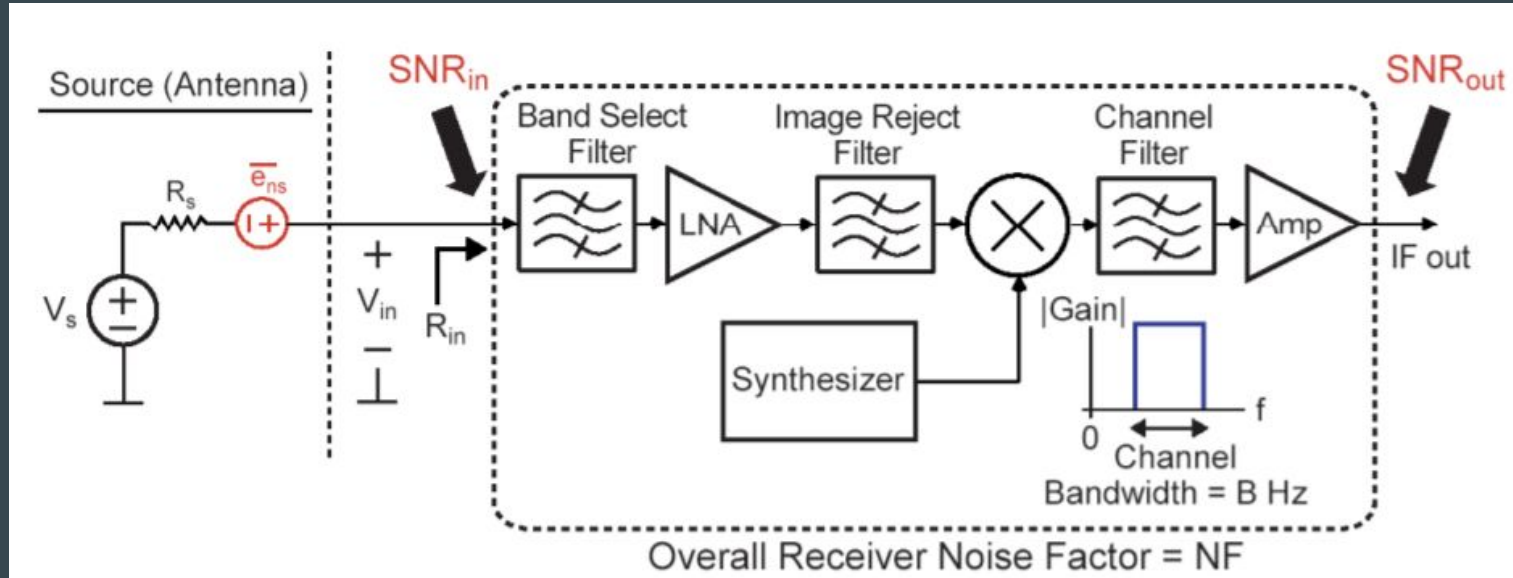
$$MDS(dBm) = -174 + NF + SNR_{min} + 10 \log(B)$$



# Quiero recibir con un SDR



# Receptor "SDR"



# SDR no demodula !!!

- Pot. recibida (sensibilidad) :  $P_{rx} = -108\text{dBm}$
- Ganancia de la antena  $G_a = 10\text{dBi}$
- Ancho del canal:  $BW = 200\text{kHz}$
- Para  $BER < 10^{-3}$   $SNR = 9\text{dB}$
- Figura de ruido del sistema  $NF_{sys} = 6\text{dB}$
- SFDR del SDR  $76\text{ dB}$
- $IIP_3$  del SDR  $12.5\text{ dBm}$

con estos valores medidos no se consigue obtener el mensaje

Que se puede hacer ???..... aumentar  $P_{rx}$  ???

debo colocar un amplificador ???



# SDR no demodula !!!

- Pot. recibida (sensibilidad) :  $P_{rx} = -108\text{dBm}$
- Ganancia de la antena  $G_a = 10\text{dBi}$
- Ancho del canal:  $BW = 200\text{kHz}$
- Para  $BER < 10^{-3}$   $SNR = 9\text{dB}$
- Figura de ruido del sistema  $NF_{sys} = 6\text{dB}$
- SFDR del SDR  $76\text{ dB}$
- $IIP_3$  del SDR  $12.5\text{ dBm}$

$$MDS(dBm) = -174 + NF + SNR_{min} + 10 \log(B)$$

$$MDS = -174 + NF + 9 + 53 = -108\text{dBm}$$

$$NF_{sys} = 4\text{dB}$$

**Necesitamos una figura de ruido de 4dB !!!** que es lo mismo decir que **necesitamos aumentar la sensibilidad** (sens. actual = -106dBm)

# Aumentemos la sensibilidad

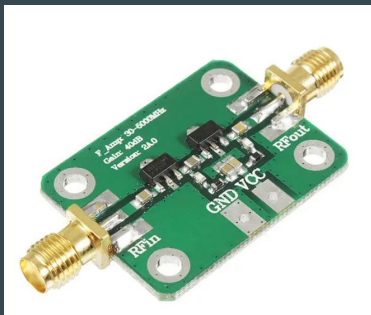
- Si coloco un amplificador para aumentar la potencia de la señal recibida, que sucede?

AVA-183P+

SMT Gain Block, 500 - 18000 MHz, 50 $\Omega$



$G = 30 \text{ dB (1000)}$   
 $NF = 2 \text{ dB (1.58)}$   
 $IIP3 = 20 \text{ dBm (100 mW)}$



$G = 10 \text{ dB (10)}$   
 $NF = 3.4 \text{ dB (2.19)}$   
 $IIP3 = 20 \text{ dBm (100 mW)}$

# Aumentemos la sensibilidad

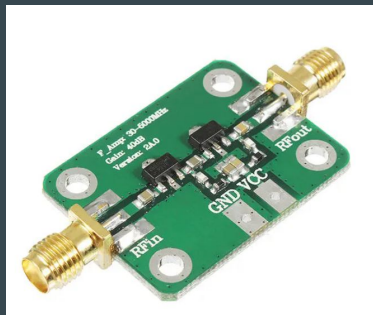
- Si coloco un amplificador para aumentar la potencia de la señal recibida, que sucede?

AVA-183P+  
SMT Gain Block, 500 - 18000 MHz, 50Ω



$G = 30 \text{ dB (1000)}$   
 $NF = 2 \text{ dB (1.58)}$   
 $IIP3 = 20 \text{ dBm (100 mW)}$

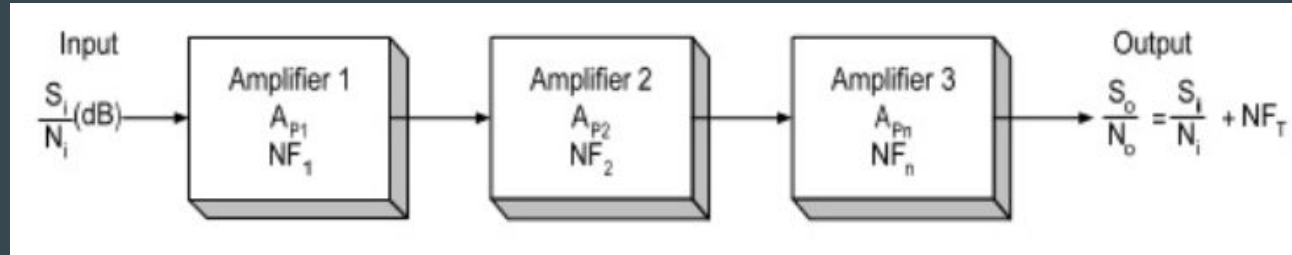
$NF_{\text{sys}} = 2 \text{ dB (21.59)}$   
 $SFDR = 59 \text{ dB}$   
 $IIP3 = -17.5 \text{ dBm}$



$G = 10 \text{ dB (10)}$   
 $NF = 3.4 \text{ dB (2.19)}$   
 $IIP3 = 20 \text{ dBm (100 mW)}$

$NF_{\text{sys}} = 3.95 \text{ dB (2.48)}$   
 $SFDR = 71 \text{ dB}$   
 $IIP3 = 2.4 \text{ dBm}$

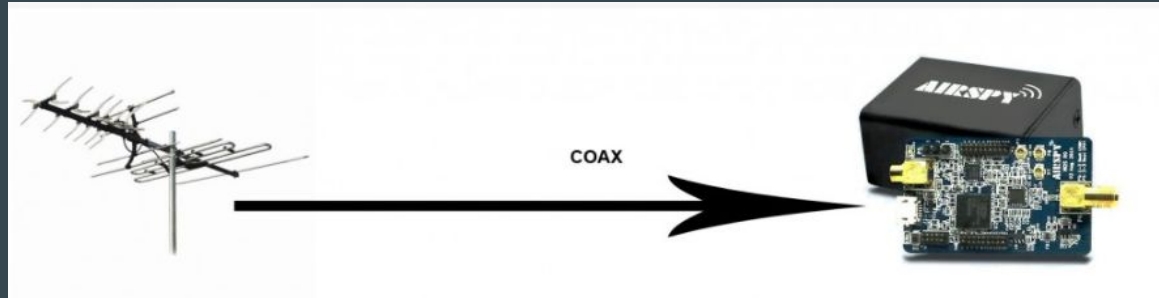
# Cascada NF - IIP3



$$F_T = F_1 + \frac{F_2 - 1}{A_1} + \frac{F_3 - 1}{A_1 A_2} + \frac{F_n - 1}{A_1 A_2 \dots A_{n-1}} \quad [\text{unitless}]$$

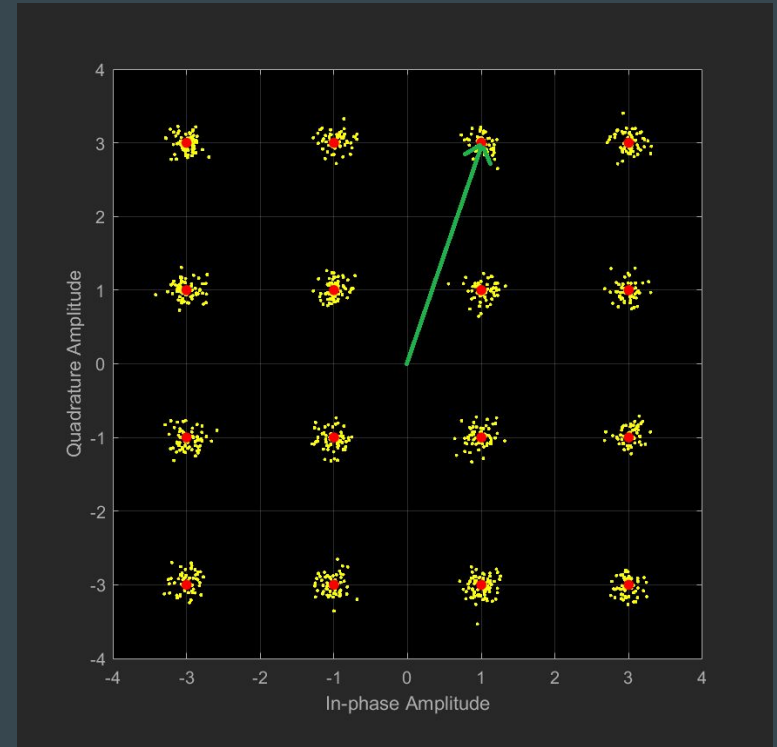
$$\frac{1}{IIP3} = \frac{1}{I_1} + \frac{G_1}{I_2} + \frac{G_1 G_2}{I_3} + \dots$$

# Si tengo un cable largo, que sucede?

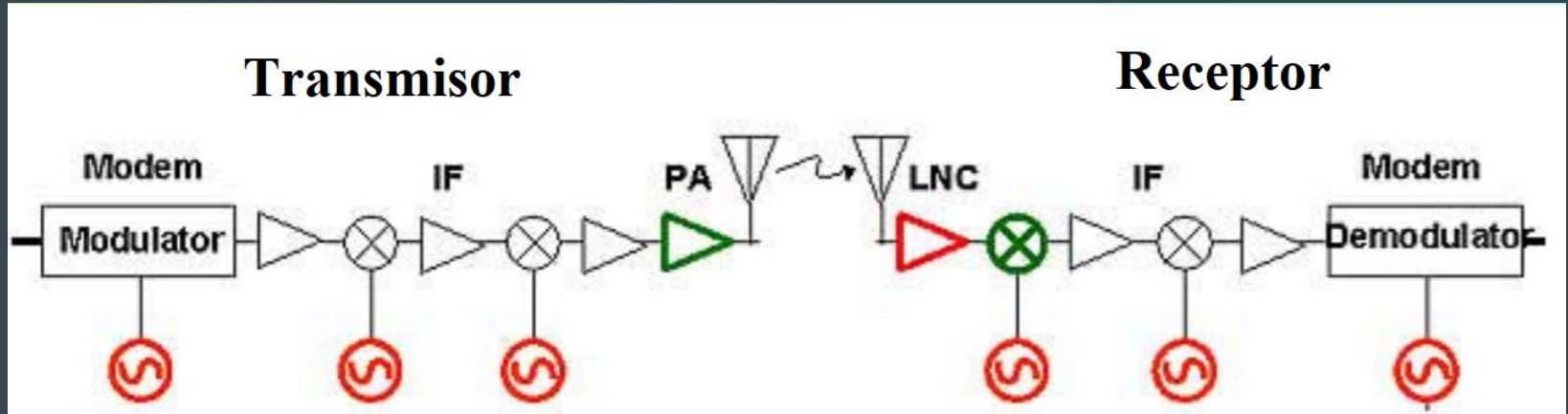


# Modulación de vectores

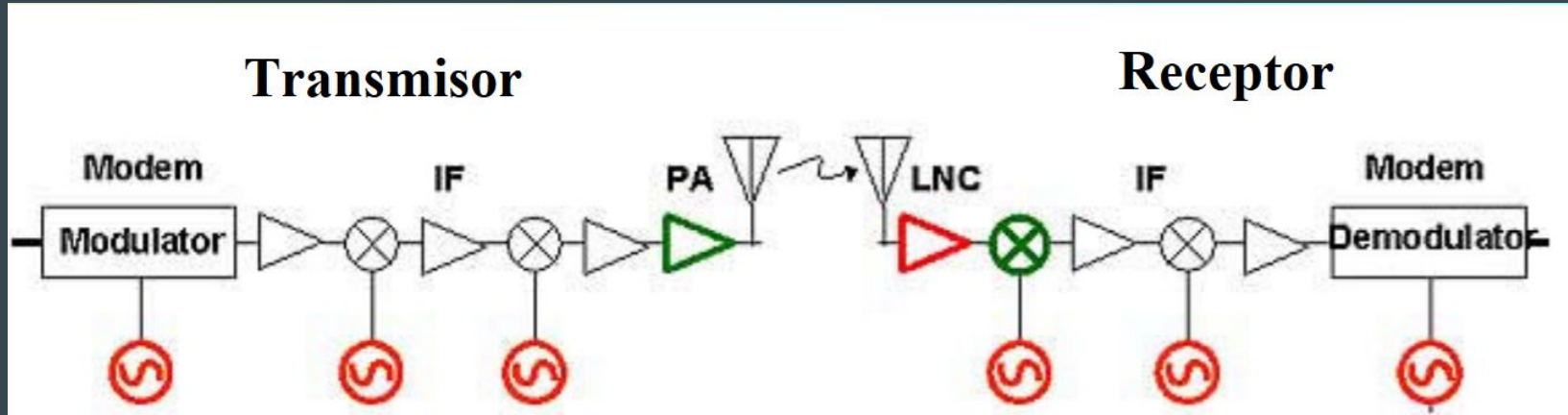
- Mod analógica mayor S/N que digital
- Eficiencia en Digital
  - ❖ Maximizada utilizando amplitud y fase vector
  - ❖ La posición del vector define el símbolo



# Fuentes primarias de ruido y distorsión



# Fuentes primarias de ruido y distorsión



- **Ruido**
  - LO
  - LNA

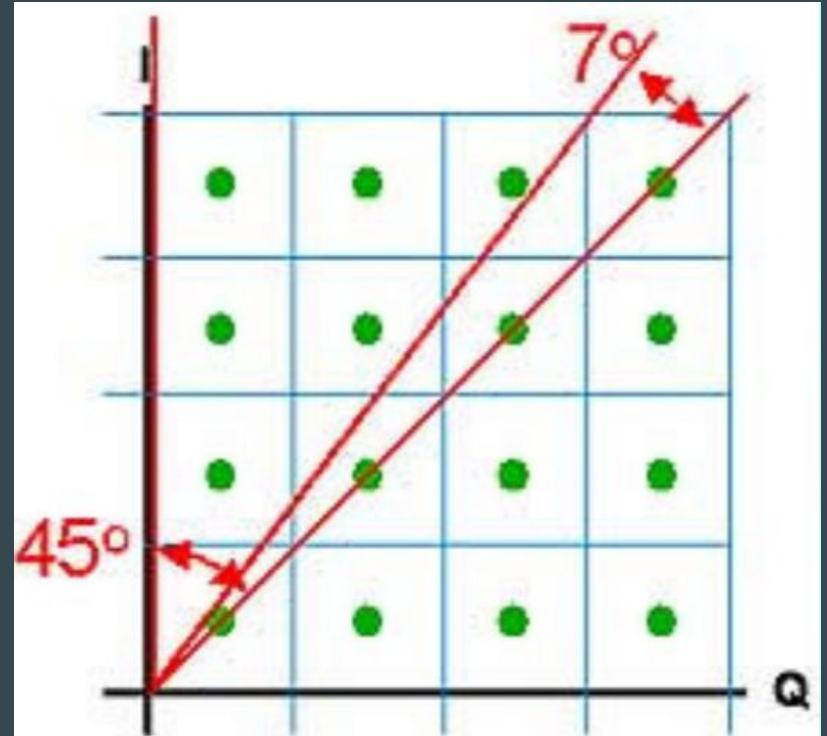
- **Distorsión**
  - Mixer
  - PA
  - Filtros



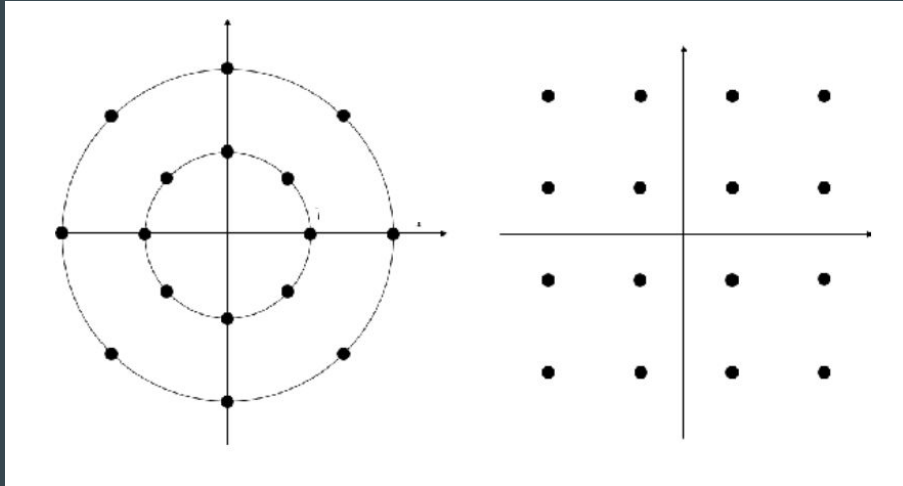
El ángulo máximo de error depende de la posición del símbolo

Los símbolos de afuera toleran menos

Modulation	Error
•2QAM	90.0°
•4QAM	45.0°
•16QAM	16.9°
•32AM	10.9°
•64QAM	7.7°
•128QAM	5.1°



16APSK es más inmune al ruido de fase que 16QAM



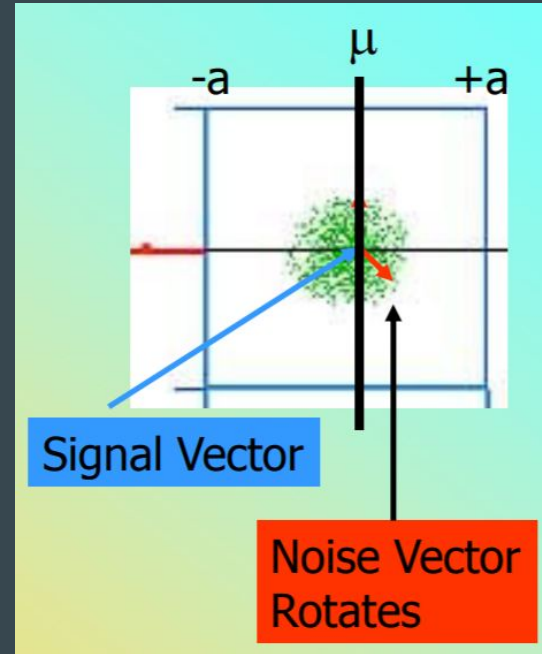
- 16QAM  $\pm 16.9^\circ$
- 16APSK  $\pm 22.5^\circ$

# Standard Deviation & RMS Noise

$\sigma=1$  RMS Noise

$\mu$  es la señal ideal

$P(a=|4 \sigma|)$  Bit Error =  $6.3 \times 10^{-5}$  -

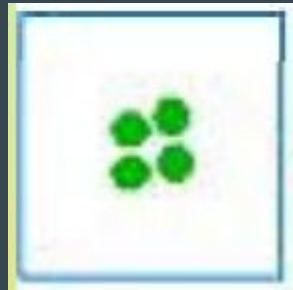


# Group Delay Distortion

La cuadratura es afectada

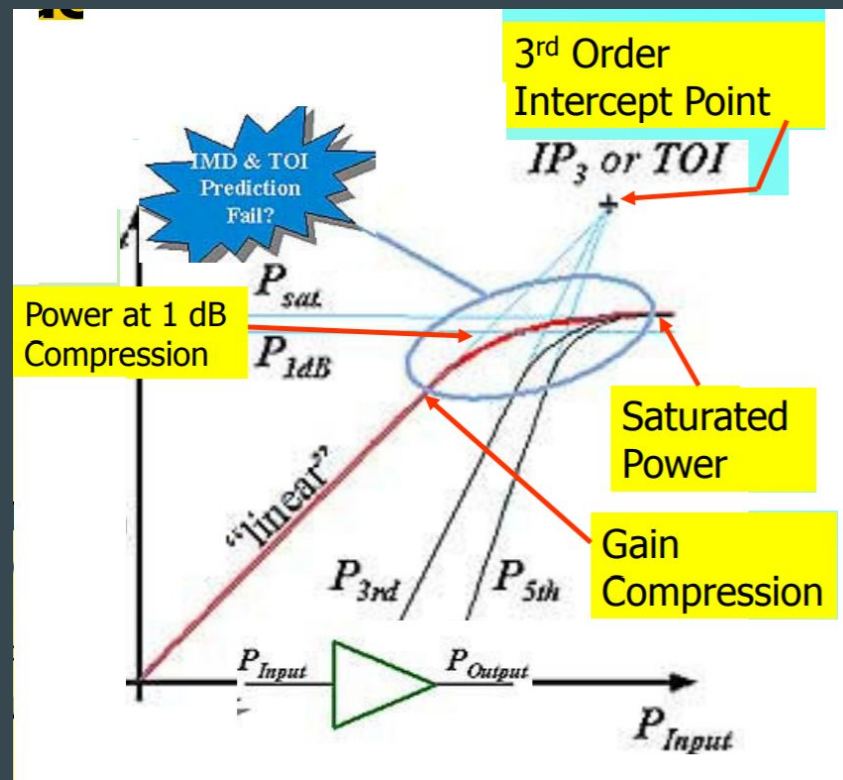
Group Delay Distortion es determinístico

Es función de la frecuencia



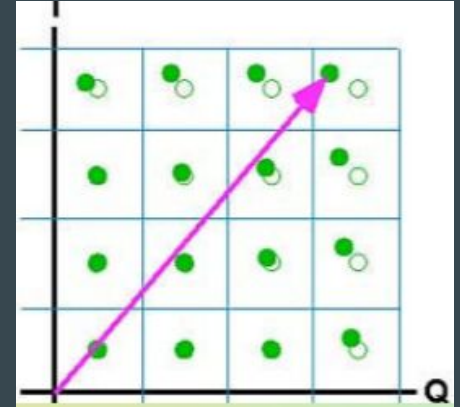
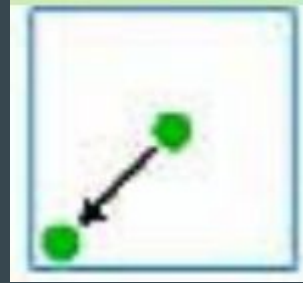
# Distorsión de amplitud

- Si la señal se incrementa
  - Amplitude se comprime: AM/AM Distortion
  - Cambia la fase: AM/PM Distortion
- IMD Distortion
  - Se “crean” 2 tonos
  - Productos de 3er y 5to orden

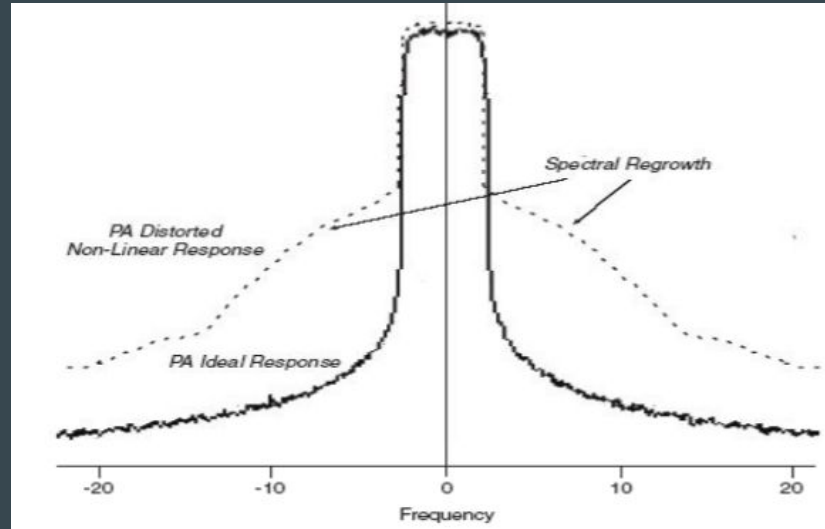


# Distorsión de amplitud

- AM/AM
  - Clipping
  - Compresión de ganancia
- AM/PM
  - Fase cambia con la amplitud
  - AM/PM ocurre antes que AM/AM
  - AM/PM es más pronunciado en los símbolos alejados

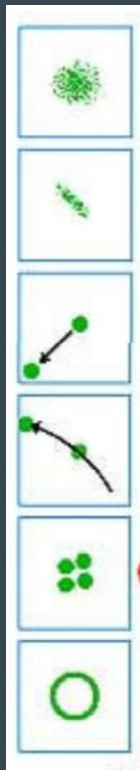


- IMD



# Errores Determinísticos

- Predecibles y corregibles
- AM/AM Distortion
  - Power Amplifier
  - ADC Quantization
- AM/PM Distortion
  - Power Amplifier
- Group Delay Distortion
  - Filters
- Interference-Spurious
  - Power Supply
  - 3rd Order Interference



# Errores aleatorios

- Caracterizados por la distribución de probabilidad y su desviación estándar
- Estos errores son estadísticos
- Función de múltiplos de  $\sigma$  al umbral
- Thermal Noise – Low Noise Amplifier
- Phase Noise-Local Oscillator



# Oscillator Stability

- Long Term Frequency Stability
  - Típicamente horas o años
  - Variación con la temperatura:  $\Delta F / F_0$  Parts Per Million (PPM)
- Short Term Frequency Stability
  - Residual FM
  - Allen Variance
  - Phase Noise:

# Phase Noise - Short Term Stability

- El ruido varía la phase/frequency del oscilador
- El nivel de ruido se incrementa en las proximidades de la portadora
  - La estabilidad cerca del “carrier” se mide utilizando la “Allen Variance”
- Rango típico de interés: **10Hz to 10MHz**
- El ruido más allá del carrier es usualmente enmascarado por ruido AM y ruido térmico
- El ruido de fase no puede ser eliminado o afectado por medio del filtrado
- Fase y frecuencia están relacionadas: Frecuencia es el cambio en la fase con respecto al tiempo  $d\phi/dt$

# Phase Noise - Short Term Stability

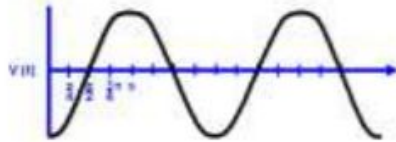
## Ideal Signal

$$V(t) = A_o \sin(\omega_o(t))$$

Where:

$A_o$  = nominal amplitude

$\omega_o$  = nominal frequency



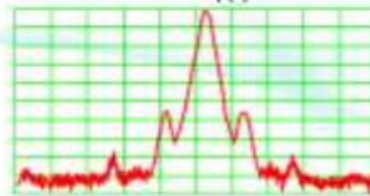
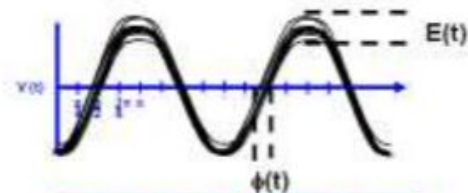
## Real-World Signal

$$V(t) = (A_o + E(t)) \sin(\omega_o(t) + \phi(t))$$

Where:

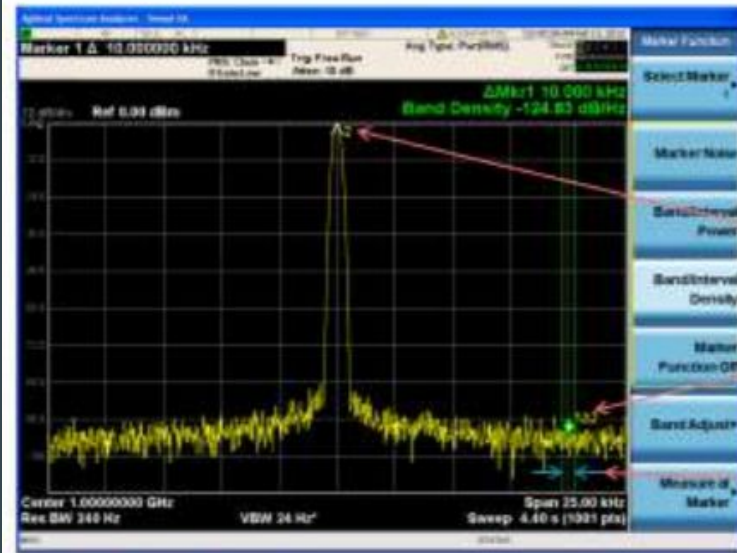
$E(t)$  = random amplitude changes

$\Phi(t)$  = random phase changes



# Single Side Band (SSB) Phase Noise

$$L(f) = \frac{\text{Noise power in a 1 Hz bandwidth}}{\text{Total signal power}}$$



$$L(f) = P_n \text{ (dBm/Hz)} - P_s \text{ (dBm)}$$

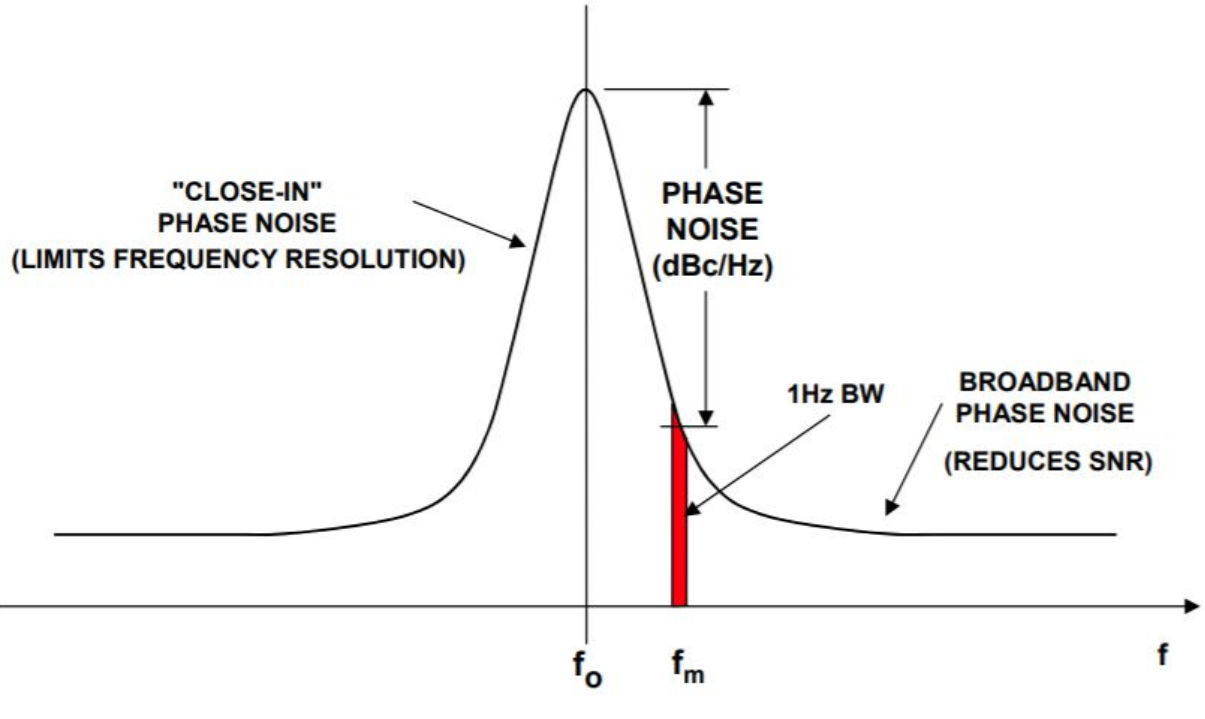
$$L(f_m) = 10 \log \left( \frac{P_{SSB}(f_m)}{P_{carrier}} \right) \text{ [dBc/Hz]}$$

$P_s$  (dBm)

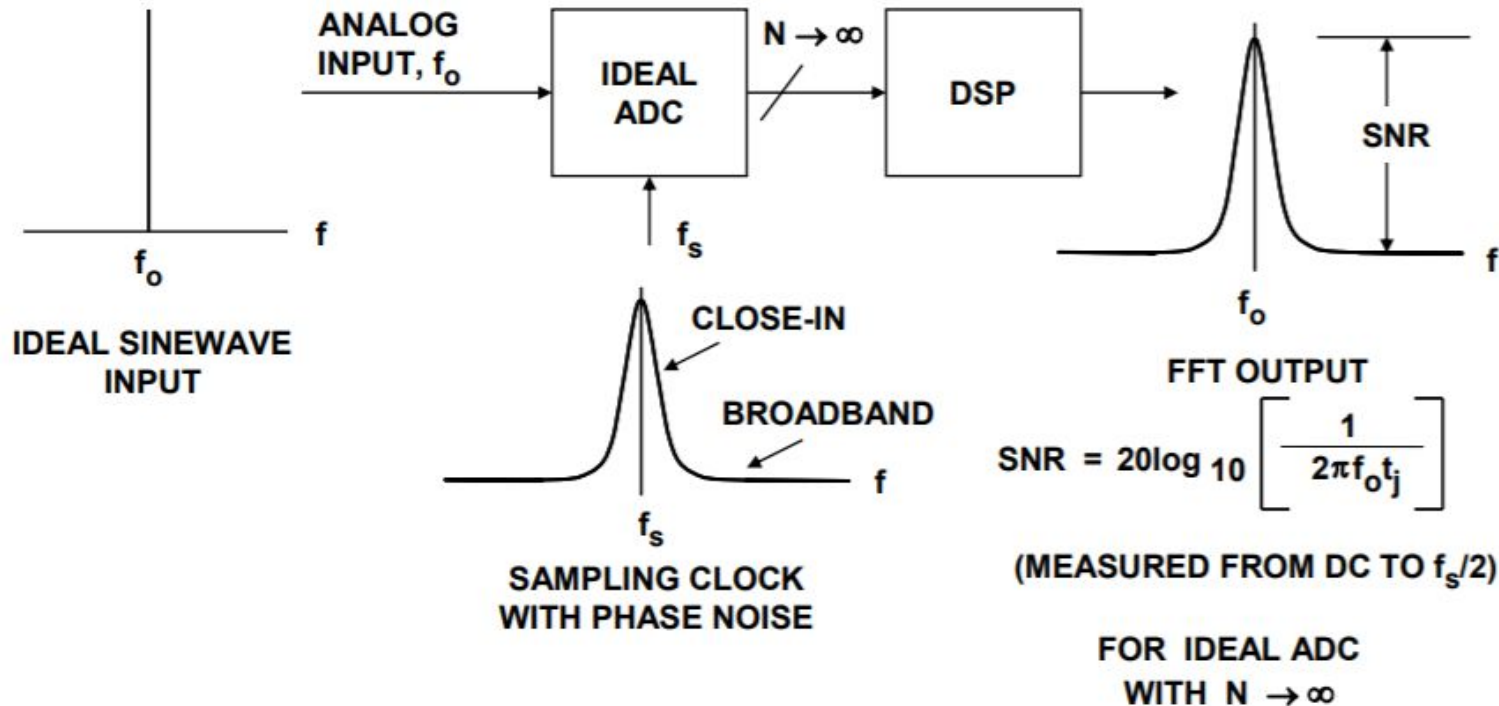
$P_n$  (dBm/Hz)

1 Hz bandwidth,  
generally normalized  
to 1 Hz

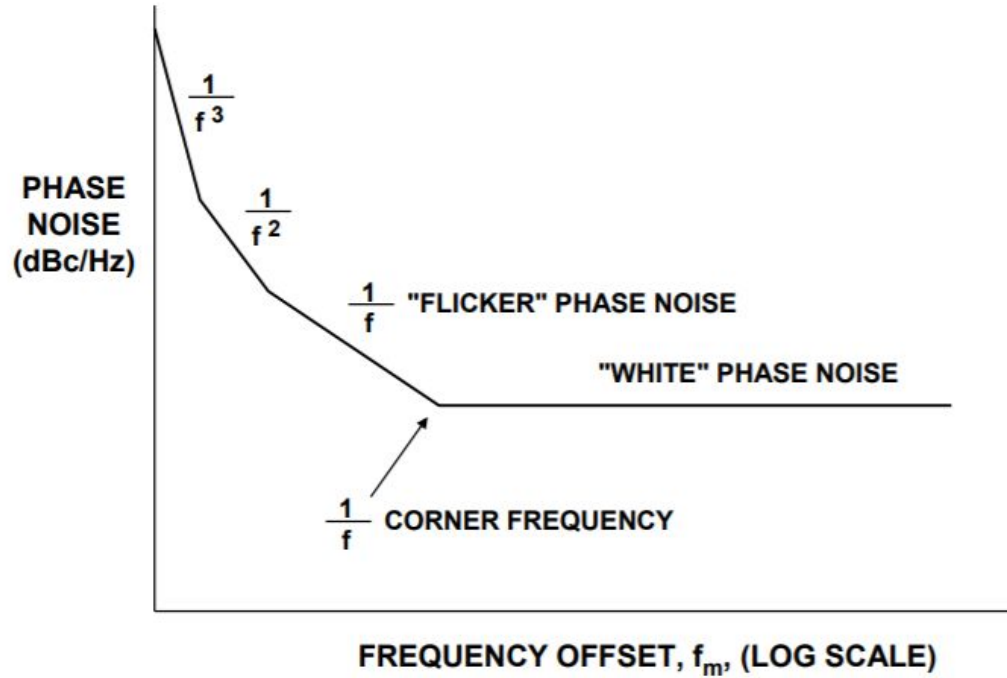
$L(f)$  = Densidad espectral de potencia de las fluctuaciones de fase

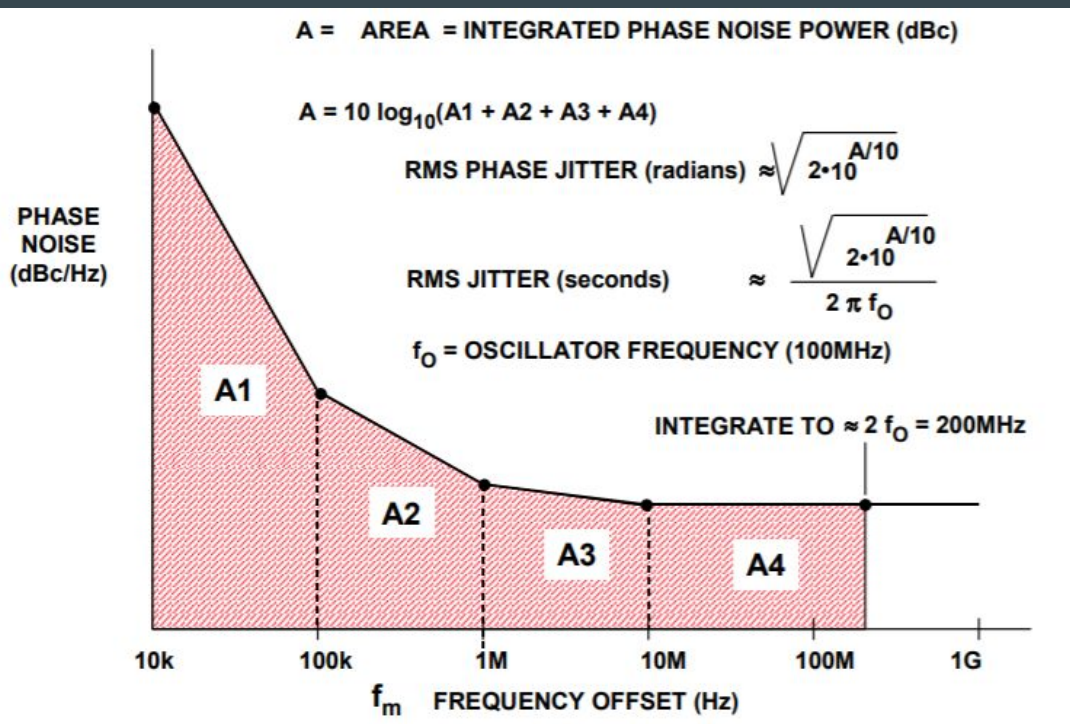


# Que sucede en un ADC?



# SSB Phase Noise





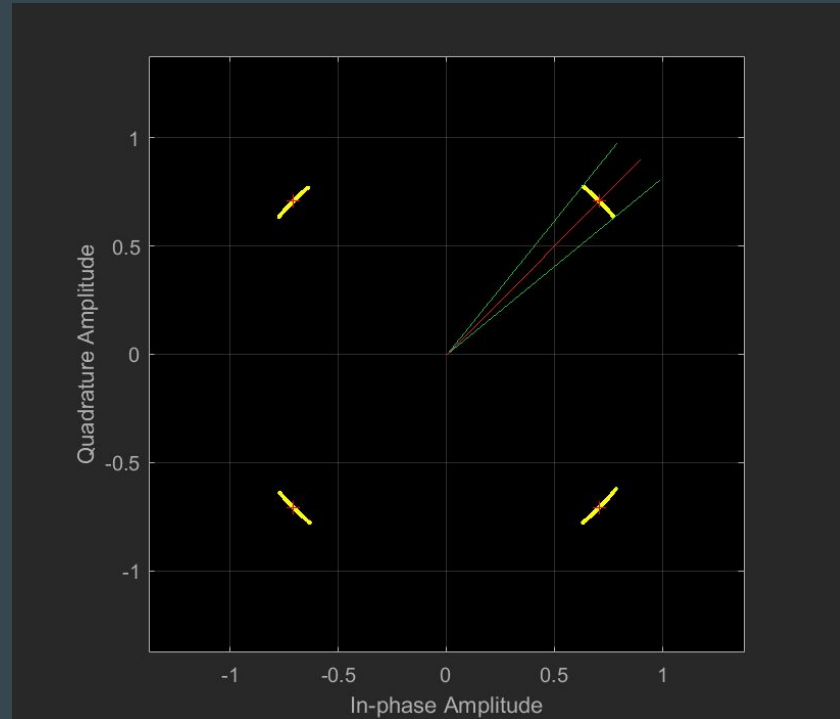


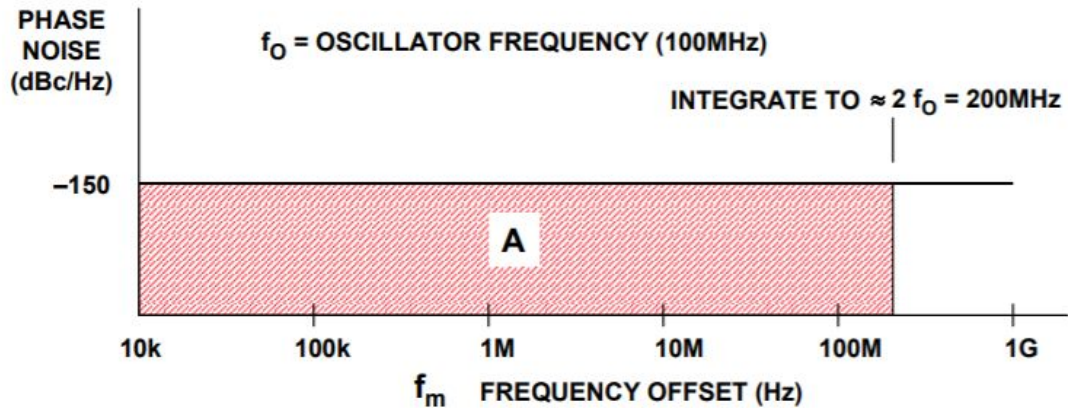
# Ejemplo

- $L(f) = -60 \text{ dBc/Hz}$

$$\Delta\phi^2 = 2 \int_{f_a}^{f_b} L(f_m) df_m \quad (rms)$$

$$\Delta\phi = 3.6^\circ \text{ rms}$$

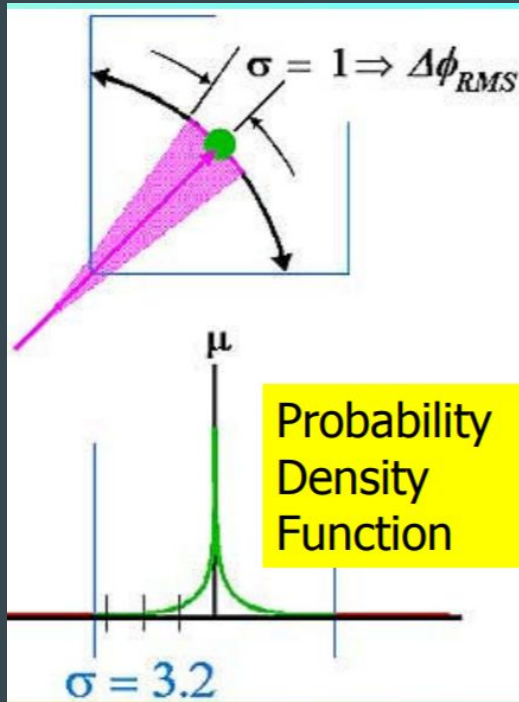




$$A = -150\text{dBc} + 10 \log_{10} [200 \times 10^6 - 0.01 \times 10^6] = -150\text{dBc} + 83\text{dB} = -67\text{dBc}$$

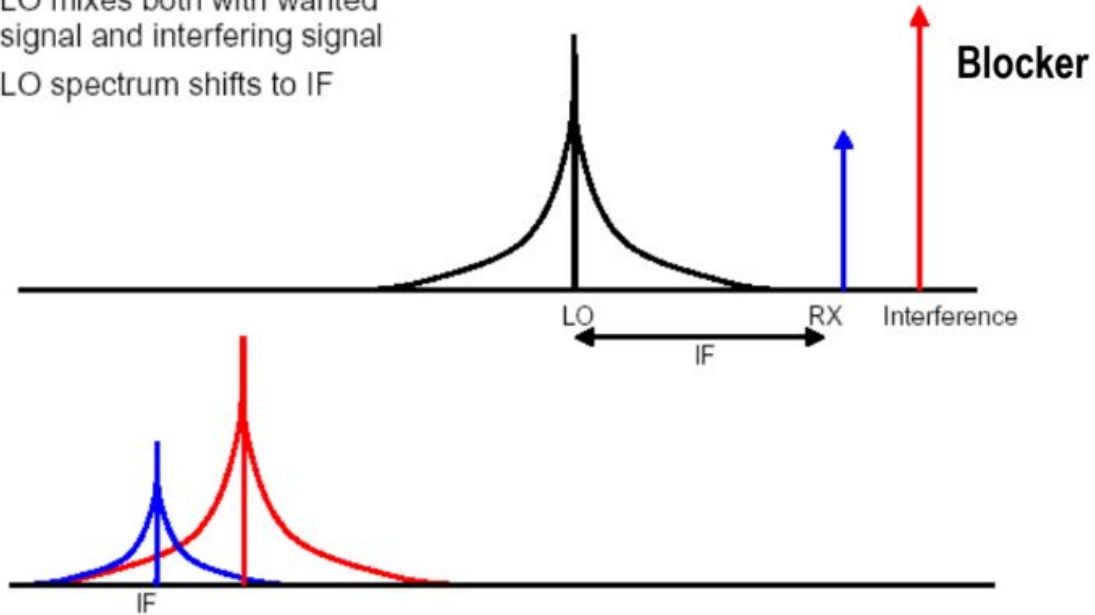
$$\text{RMS PHASE JITTER (radians)} \approx \sqrt{2 \cdot 10^{\frac{A}{10}}} = 6.32 \times 10^{-4} \text{ radians}$$

$$\text{RMS JITTER (seconds)} = \frac{\text{RMS PHASE JITTER (radians)}}{2 \pi f_0} = 1\text{ps}$$

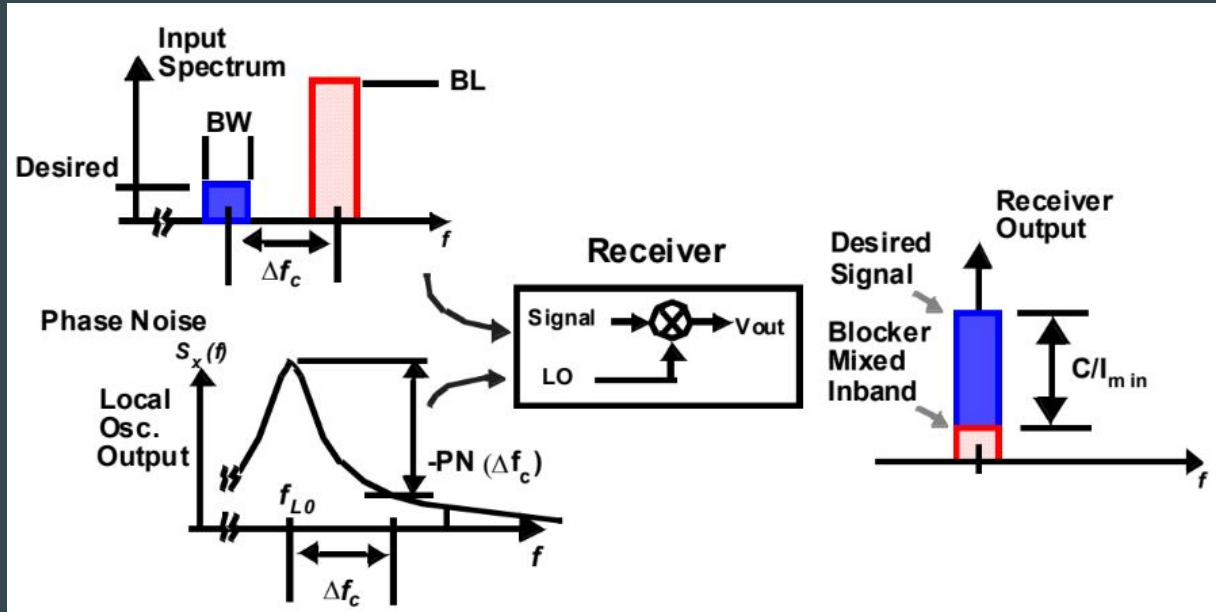


# Carrier / Interferer ratio

- LO mixes both with wanted signal and interfering signal
- LO spectrum shifts to IF



# Carrier / Interferer ratio



$$PN_{\Delta f_c}(\text{dBc} / \text{Hz}) = S_{\text{signal}} - S_{\text{block}} - C / I_{\text{min}}(\text{dB}) - 10 \log(BW)$$

**$C/I_{\text{min}}$  (Carrier / Interferer ratio)**